

## การควบคุมแขนกลด้วยหลักการอินเวอร์สกีเนมติกส์

Robot Arm Control by Inverse Kinematics

นายวรกันต์ พองศรัณย์ รหัส 52371436

|  |              |
|--|--------------|
| ห้องสนับสนุนและวิภาวดีรัตนมหาสถวาร<br>วันที่รับ..... | 20 ก.ค. 2559 |
| เลขทะเบียน.....                                      | 16861143     |
| เลขเรียกห้องน้ำ.....                                 | ๙๘           |
| มหาวิทยาลัยแม่ฟ้าฯ ๗๑๔๑๙ ๒๕๕๕                        |              |

ปริญญาaniพนธนีเป็นส่วนหนึ่งของการศึกษาหลักสูตรปริญญาวิศวกรรมศาสตรบัณฑิต

สาขาวิชาวิศวกรรมคอมพิวเตอร์ ภาควิชาวิศวกรรมไฟฟ้าและคอมพิวเตอร์

คณะวิศวกรรมศาสตร์ มหาวิทยาลัยแม่ฟ้าฯ

ปีการศึกษา 2555



## ใบรับรองปริญญาบัตร

|                   |  |
|-------------------|--|
| ชื่อหัวข้อโครงงาน | การควบคุมแผนกตัดด้ายหลักการอินเวอร์สกีเนมติกส์ |
| ผู้ดำเนินโครงงาน  | นายวรวันต์ พ่องศรัณย์ รหัส 52371436            |
| ที่ปรึกษาโครงงาน  | อาจารย์ศรีรุจña ตั้งคำวานิช                    |
| สาขาวิชา          | วิศวกรรมคอมพิวเตอร์                            |
| ภาควิชา           | วิศวกรรมไฟฟ้าและคอมพิวเตอร์                    |
| ปีการศึกษา        | 2555   |

คณะวิศวกรรมศาสตร์ มหาวิทยาลัยเรศวร อนุมัติให้ปริญญาบัตรนี้เป็นส่วนหนึ่ง  
ของการศึกษาตามหลักสูตรวิศวกรรมศาสตรบัณฑิต สาขาวิชาวิศวกรรมคอมพิวเตอร์

.....  
.....  
(อาจารย์ศรีรุจña ตั้งคำวานิช)

.....  
(ดร.พนัส นัดฤทธิ์)

.....  
(ดร.สุรเดช จิตประไภุลศาลา)

.....  
(อาจารย์รัฐภูมิ วรรณสาสน์)

|                   |   |      |          |
|-------------------|---|------|----------|
| ชื่อหัวข้อโครงงาน | การควบคุมแขนกลด้วยหลักการอินเวอร์สกิเนแมติกส์ |      |          |
| ผู้ดำเนินโครงการ  | นายวรวันต์ พองศรัณย์                          | รหัส | 52371436 |
| ที่ปรึกษาโครงงาน  | อาจารย์ศรษฐา ตั้งก้านนิช                      |      |          |
| สาขาวิชา          | วิศวกรรมคอมพิวเตอร์                           |      |          |
| ภาควิชา           | วิศวกรรมไฟฟ้าและคอมพิวเตอร์                   |      |          |
| ปีการศึกษา        | 2555  |      |          |

---

### บทคัดย่อ

โครงงานนี้นำเสนอการศึกษาและการพัฒนาระบบการควบคุมหุ่นบนแขนกลอัตโนมัติ โดยใช้หลักการของอินเวอร์สกิเนแมติกส์ในการคำนวณการเคลื่อนที่ไปยังจุดหมายได้ถูกต้องและแม่นยำ จากการรับค่าพิกัดของจุดหมายแล้วนำมาคำนวณค่าหามุมของแขนแบบแต่ละข้อเพื่อให้ปลายแขนไปยังพิกัดเป้าหมาย ซึ่งระบบการคำนวณถูกพัฒนาขึ้นบนภาษา Visual studio C# 2010

แขนกลอัตโนมัติรับคำสั่งควบคุมจากโปรแกรมที่พัฒนาขึ้นมาโดยโปรแกรมจะส่งค่าการคำนวณด้วยหลักการของอินเวอร์สกิเนแมติกส์มาเข้าบอร์ดในโครงคอนโทรลเลอร์ จากนั้นในโครงคอนโทรลเลอร์จะสั่งการเซอร์โวไม้แต่ละส่วนทำให้แขนเคลื่อนที่ไปยังพิกัดที่ต้องการ ซึ่งแขนกลอัตโนมัตินี้สามารถนำไปประยุกต์ใช้ในการหีบหับสิ่งของอัตโนมัติได้

|                        |   |              |
|------------------------|---|--------------|
| <b>Project title</b>   | Robot Arm Control by Inverse Kinematics |              |
| <b>Name</b>            | Mr. Woragun Fongsarun                   | ID. 52371436 |
| <b>Project advisor</b> | Mr. Settha Tangkawanit                  |              |
| <b>Major</b>           | Computer Engineering                    |              |
| <b>Department</b>      | Electrical and Computer Engineering     |              |
| <b>Academic year</b>   | 2012                                    |              |

---

### Abstract

This project presents a learning and developing of robot arm control system using an Inverse Kinematics principles for calculation in order to moves an arm to the destination with correctly and precisely. This system is calculated by coordinates of the destination, to calculate the angle for each arm in order that the forearm can get a coordinates and moves forward to destination. The calculation system was developed by Visual Studio C# 2010.

Automatic arm receive a command from the IK program, which was developed by the calculation of Inverse Kinematics principles, send to a microcontroller board and then assigns servo motor in each part to move arm to the desired coordinates. This automatic arm can apply to an automatic pick and place object task.

## กิตติกรรมประกาศ

ปริญญาอินพนธ์ฉบับนี้สำเร็จลุล่วงไปด้วยดี เนื่องจากการได้รับความช่วยเหลืออนุเคราะห์จากบุคคลหลากหลายท่านด้วยกัน โดยเฉพาะอย่างยิ่งท่าน อาจารย์เศรษฐา ตั้งคำวานิช ที่ได้สละเวลาเพื่อให้คำปรึกษาและเสนอแนะแนวทางสำหรับการแก้ไขปัญหาที่เกิดขึ้นของการจัดทำโครงการพร้อมด้วยคณะกรรมการที่ปรึกษาโครงการ ดร.พนัส นักฤทธิ์ ดร.สุรเดช จิตประไพกุลศาลา และอาจารย์รุ่งภรณ์ วนิชสาสน์ ที่ให้คำแนะนำในการเขียนรูปเล่มปริญญาอินพนธ์

ผู้จัดทำโครงการจึงขอขอบคุณทุกๆท่านที่มีส่วนร่วมในการให้ความรู้และคำปรึกษาต่างๆที่เกี่ยวกับโครงการนี้ จนสำเร็จลุล่วงในที่สุด

ผู้จัดทำโครงการวิศวกรรม  
นาย วงศันต์ ฟองศรีษะ



## สารบัญ

หน้า

|                          |     |
|--------------------------|-----|
| บทคัดย่อภาษาไทย .....    | ii  |
| บทคัดย่อภาษาอังกฤษ ..... | iii |
| กิจกรรมประจำ .....       | iv  |
| สารบัญ .....             | v   |
| สารบัญรูป .....          | vi  |
| สารบัญตาราง .....        | vii |

|                    |   |
|--------------------|---|
| บทที่ 1 บทนำ ..... | 1 |
|--------------------|---|

|  |   |
|--|---|
| 1.1 ความเป็นมาและความสำคัญของโครงการ ..... | 1 |
| 1.2 วัตถุประสงค์ของโครงการ .....           | 1 |
| 1.3 ขอบเขตของโครงการ .....                 | 1 |
| 1.4 ขั้นตอนการดำเนินงานของโครงการ .....    | 2 |
| 1.5 แผนการดำเนินงาน .....                  | 2 |
| 1.6 ผลที่คาดว่าจะได้รับ .....              | 4 |
| 1.7 งบประมาณดำเนินโครงการ .....            | 4 |

|                               |   |
|-------------------------------|---|
| บทที่ 2 หลักการและทฤษฎี ..... | 5 |
|-------------------------------|---|

|                      |   |
|----------------------|---|
| 2.1 แผนทุนนิยม ..... | 5 |
| 2.2 ข้อต่อ .....     | 6 |

## สารบัญ(ต่อ)

|  |    |
|--|----|
| 2.2.1 การหมุนแกน .....                               | 7  |
| 2.2.2.1 การหมุนรอบแกน X หรือมุม Pitch .....          | 8  |
| 2.2.2.2 การหมุนรอบแกน Y หรือมุม Yaw .....            | 9  |
| 2.2.2.3 การหมุนรอบแกน Z หรือมุม Roll .....           | 10 |
| 2.3 ทฤษฎีการเคลื่อนที่ .....                         | 11 |
| 2.3.1 Forward kinematics .....                       | 11 |
| 2.3.2 Inverse kinematics .....                       | 11 |
| 2.4 นาฬิกระดับตรร .....                              | 15 |
| 2.5 เซอร์ไวนอเตอร์ .....                             | 16 |
| 2.6 ไมโครคอนโทรลเลอร์ ATmega1280 .....               | 17 |
| <br><br><br><br><br><br>                             |    |
| <b>บทที่ 3 วิธีการดำเนินโครงการ</b>                  |    |
| 3.1 Conceptual System Design .....                   | 21 |
| 3.2 Diagram การทำงาน .....                           | 22 |
| 3.3 การพัฒนาโครงสร้างของหุ่นยนต์แบบกลอตตโนมัติ ..... | 22 |
| 3.4 วิธีการใช้งานโปรแกรม Inverse Kinematics .....    | 26 |
| <br><br><br><br><br><br>                             |    |
| <b>บทที่ 4 ผลการทดลอง</b>                            |    |
| 4.1 จุดประสงค์ของการทดลอง .....                      | 28 |

## สารบัญ(ต่อ)

|     |                                  |    |
|-----|----------------------------------|----|
| 4.2 | ขั้นตอนการทดลอง .....            | 28 |
| 4.3 | ขั้นตอนทดสอบโปรแกรม .....        | 29 |
| 4.4 | ตารางเปรียบเทียบผลการทดลอง ..... | 47 |

### บทที่ 5 สรุปผลการทดลอง

|                       |                         |    |
|-----------------------|-------------------------|----|
| 5.1                   | สรุปผลการทดลอง .....    | 51 |
| 5.2                   | ปัญหาที่พบ .....        | 51 |
| 5.3                   | แนวทางการแก้ปัญหา ..... | 52 |
| 5.4                   | แนวทางการพัฒนาต่อ ..... | 53 |
| เอกสารอ้างอิง .....   |                         | 54 |
| ภาคผนวก ก .....       |                         | 56 |
| ภาคผนวก ข .....       |                         | 59 |
| ประวัติผู้จัดทำ ..... |                         | 62 |

## สารบัญรูป

| รูปที่   | หน้า |
|--|------|
| รูปที่ 2.1 แขนกล (Robot Arm) .....                                     | 5    |
| รูปที่ 2.2 ข้อต่อ (Joint) .....  | 6    |
| รูปที่ 2.3 ทฤษฎีแกนดึงจาก .....  | 7    |
| รูปที่ 2.4 แสดงการหมุนของแกน Roll, Yaw, Pitch .....                    | 8    |
| รูปที่ 2.5 การหมุนรอบแกน X .....                                       | 8    |
| รูปที่ 2.6 การหมุนรอบแกน Y .....                                       | 9    |
| รูปที่ 2.7 การหมุนรอบแกน Z .....                                       | 10   |
| รูปที่ 2.8 แสดงทิศทางของ Degree of Freedom (DOF) .....                 | 11   |
| รูปที่ 2.9 แสดงตัวอย่างของการหาtheta .....                             | 12   |
| รูปที่ 2.10 แสดงวิธีการคำนวณสมการ Atan2 .....                          | 13   |
| รูปที่ 2.11 แสดงลำดับของมุมและท่อนแขน .....                            | 14   |
| รูปที่ 2.12 มอเตอร์กระแสตรง (DC Motor) .....                           | 14   |
| รูปที่ 2.13 เชอร์โวนอเตอร์ .....                                       | 16   |
| รูปที่ 2.14 สัญญาณถูกคลื่นที่สามารถป้อนให้กับเชอร์โวนอเตอร์ .....      | 16   |
| รูปที่ 2.15 แสดงตำแหน่งของเชอร์โวนอเตอร์เมื่อป้อนความกว้าง pulse ..... | 17   |
| รูปที่ 2.16 ไมโครคอนโทรลเลอร์ ATmega1280 .....                         | 18   |
| รูปที่ 3.1 Conceptual System Design .....                              | 21   |
| รูปที่ 3.2 ໄດอະແກຣມแสดงการทำงานของระบบควบคุมแขนกลอัตโนมัติ .....       | 22   |

## สารบัญรูป(ต่อ)

|   |    |
|---|----|
| รูปที่ 3.3 รายละเอียดของเซอร์ไวนมอเตอร์ รุ่น SR431 .....                | 23 |
| รูปที่ 3.4 รูปร่างและขนาดของเซอร์ไวนมอเตอร์ รุ่น Futaba S3003 .....     | 23 |
| รูปที่ 3.5 รายละเอียดของมอเตอร์กระแสตรง Motor worm gear 12vdc .....     | 23 |
| รูปที่ 3.6 แสดงโครงสร้างของหุ้นชนต์แขนกล .....                          | 24 |
| รูปที่ 3.7 แสดงขนาดของแขนแต่ละ link และตัวกริปเปอร์ .....               | 25 |
| รูปที่ 3.8 แสดงขนาดของส่วนประกอบต่างๆของแขนกลอัตโนมัติ .....            | 25 |
| รูปที่ 3.9 ลักษณะหน้าตาของโปรแกรม .....                                 | 26 |
| รูปที่ 4.1 แสดงค่าโปรแกรมที่พัฒนาขึ้นมา .....                           | 29 |
| รูปที่ 4.2 การทดสอบโปรแกรมครั้งที่ 1 .....                              | 30 |
| รูปที่ 4.3 การทดสอบโปรแกรมครั้งที่ 2 .....                              | 31 |
| รูปที่ 4.4 แสดงกราฟการทำงานของแขนและปลายแขนของการทดสอบครั้งที่ 2 .....  | 31 |
| รูปที่ 4.5 แสดงลักษณะของแขนกลของการทดสอบครั้งที่ 2 .....                | 32 |
| รูปที่ 4.6 การทดสอบโปรแกรมครั้งที่ 3 .....                              | 33 |
| รูปที่ 4.7 การทดสอบโปรแกรมครั้งที่ 4 .....                              | 34 |
| รูปที่ 4.8 แสดงกราฟการทำงานของแขนและปลายแขนของการทดสอบครั้งที่ 4 .....  | 34 |
| รูปที่ 4.9 แสดงลักษณะของแขนกลของการทดสอบครั้งที่ 4 .....                | 35 |
| รูปที่ 4.10 การทดสอบโปรแกรมครั้งที่ 5 .....                             | 36 |
| รูปที่ 4.11 แสดงกราฟการทำงานของแขนและปลายแขนของการทดสอบครั้งที่ 5 ..... | 36 |
| รูปที่ 4.12 แสดงลักษณะของแขนกลของการทดสอบครั้งที่ 5 .....               | 37 |

## สารบัญรูป(ต่อ)

|   |    |
|---|----|
| รูปที่ 4.13 การทดสอบโปรแกรมครั้งที่ 6 .....                               | 38 |
| รูปที่ 4.14 แสดงกราฟการทำนุ่มของแขนและปลายแขนของการทดสอบครั้งที่ 6 .....  | 38 |
| รูปที่ 4.15 แสดงลักษณะของแขนกลของการทดสอบครั้งที่ 6 .....                 | 39 |
| รูปที่ 4.16 การทดสอบโปรแกรมครั้งที่ 7 .....                               | 40 |
| รูปที่ 4.17 แสดงกราฟการทำนุ่มของแขนและปลายแขนของการทดสอบครั้งที่ 7 .....  | 40 |
| รูปที่ 4.18 แสดงลักษณะของแขนกลของการทดสอบครั้งที่ 7 .....                 | 41 |
| รูปที่ 4.19 การทดสอบโปรแกรมครั้งที่ 8 .....                               | 42 |
| รูปที่ 4.20 แสดงกราฟการทำนุ่มของแขนและปลายแขนของการทดสอบครั้งที่ 8 .....  | 42 |
| รูปที่ 4.21 แสดงลักษณะของแขนกลของการทดสอบครั้งที่ 8 .....                 | 43 |
| รูปที่ 4.22 การทดสอบโปรแกรมครั้งที่ 9 .....                               | 44 |
| รูปที่ 4.23 การทดสอบโปรแกรมครั้งที่ 10 .....                              | 45 |
| รูปที่ 4.24 การทดสอบโปรแกรมครั้งที่ 11 .....                              | 46 |
| รูปที่ 4.25 แสดงกราฟการทำนุ่มของแขนและปลายแขนของการทดสอบครั้งที่ 11 ..... | 46 |
| รูปที่ ก-1 กราฟแสดงการ linear ค่าจากตารางเปรียบเทียบใน ตารางที่ ก-1 ..... | 56 |
| รูปที่ ก-2 กราฟแสดงการ linear ค่าจากตารางเปรียบเทียบใน ตารางที่ ก-2 ..... | 57 |
| รูปที่ ก-3 กราฟแสดงการ linear ค่าจากตารางเปรียบเทียบใน ตารางที่ ก-3 ..... | 58 |

## สารบัญตาราง

| ตารางที่  | หน้า |
|---|------|
| ตารางที่ 1.1 แผนการดำเนินงาน .....                                      | 2    |
| ตารางที่ 2.1 แสดงตัวอย่างของการหา $\theta_i$ .....                      | 12   |
| ตารางที่ 4.1 ตารางเปรียบเทียบผลการทดลอง .....                           | 47   |
| ตารางที่ ก-1 ตารางเปรียบเทียบ value กับองศาจริงของ Servo ข้อที่ 1 ..... | 56   |
| ตารางที่ ก-2 ตารางเปรียบเทียบ value กับองศาจริงของ Servo ข้อที่ 2 ..... | 57   |
| ตารางที่ ก-3 ตารางเปรียบเทียบค่าแรงดันของกับองศาจริงของ dc motor .....  | 58   |



## บทที่ 1

### บทนำ

#### 1.1 ความเป็นมาและความสำคัญของโครงงาน

เนื่องจากในปัจจุบันได้มีการนำเทคโนโลยีมาใช้ในชีวิตประจำวันและงานในด้านต่างๆ อาทิ เช่น ด้านอุตสาหกรรม ด้านเกษตรกรรม ในลักษณะงานบางอย่าง มีการทำงานที่ซ้ำๆ ไปซ้ำมานิ่งนาน ซึ่งก้อนทำให้การทำงานมีความซื้องชา หรือมีความเสี่ยงที่เป็นอันตรายต่อมนุษย์ งานบางอย่าง ต้องใช้ความแม่นยำและความเร็วในการทำงาน จึงได้มีการพัฒนาหุ่นยนต์ที่สามารถใช้งานในด้านนั้นๆ เพื่ออำนวยความสะดวกความสะดวกสบายในการทำงาน เป็นต้น

ดังนั้นทางคณะผู้จัดทำโครงงานจึงมีแนวคิดในการออกแบบและสร้างหุ่นยนต์แขนกลอัตโนมัติ ซึ่งจะเป็นอุปกรณ์ที่สามารถช่วยให้มนุษย์ลดความเสี่ยงในการทำงานในพื้นที่ที่เป็นอันตรายและเพิ่มประสิทธิภาพในการทำงานมากยิ่งขึ้น และยังสามารถนำไปประยุกต์ใช้กับการเปลี่ยนผ่าน @HOME ROBOT หุ่นยนต์เพื่อนอัจฉริยะได้

#### 1.2 วัตถุประสงค์

- สามารถสร้างหุ่นยนต์แขนกล ที่มีระบบควบคุมแบบป้อนกดันได้
- สามารถส่งการเคลื่อนแขนกลไปยังวัตถุที่สนใจเพื่อจับวัตถุหรือวางได้

#### 1.3 ขอบเขตโครงงาน

- แขนกลสามารถเคลื่อนที่ไปยังวัตถุที่สนใจได้โดยอัตโนมัติจากการระบุคำดำเนินการพิเศษ  
วัตถุ  
2. แขนกลสามารถหันเข้าจับวัตถุได้  
เงื่อนไขของวัตถุ
  - วัตถุต้องมีน้ำหนักไม่เกิน 1 Kg.
  - วัตถุต้องมีรูปทรงเป็นทรงกรวยหรือสี่เหลี่ยมพื้นผ้าเท่านั้น
  - ขนาดของวัตถุต้องมีขนาดไม่เกินช่วงปีกสุดของกริปเปอร์ซึ่งมีขนาด 4 Cm.



|  |  |  |  |  |  |  |  |  |  |  |  |  |  |  |  |  |  |  |  |
|--|--|--|--|--|--|--|--|--|--|--|--|--|--|--|--|--|--|--|--|
| 3. ออกแบบ<br>ระบบสำหรับ<br>เกลื่อนที่แนบ<br>กลไปชั่ง<br>ตำแหน่งที่ระบุ       |  |  |  |  |  |  |  |  |  |  |  |  |  |  |  |  |  |  |  |
| 4. พัฒนา<br>โปรแกรม<br>สำหรับ<br>เกลื่อนที่แนบ<br>กลไปชั่ง<br>ตำแหน่งที่ระบุ |  |  |  |  |  |  |  |  |  |  |  |  |  |  |  |  |  |  |  |
| 5. ทดสอบ<br>โปรแกรม<br>สำหรับ<br>เกลื่อนที่แนบ<br>กลไปชั่ง<br>ตำแหน่งที่ระบุ |  |  |  |  |  |  |  |  |  |  |  |  |  |  |  |  |  |  |  |
| 6. แก้ไข<br>โปรแกรม<br>สำหรับ<br>เกลื่อนที่แนบ<br>กลไปชั่ง<br>ตำแหน่งที่ระบุ |  |  |  |  |  |  |  |  |  |  |  |  |  |  |  |  |  |  |  |
| 7. จัดทำรูปเล่ม<br>โครงการ   |  |  |  |  |  |  |  |  |  |  |  |  |  |  |  |  |  |  |  |

ตารางที่ 1.1 แผนการดำเนินงาน

## 1.6 ผลที่คาดว่าจะได้รับ

1. ได้หุ่นยนต์แขนกลอัตโนมัติที่สามารถยกขึ้นลงได้
2. สามารถนำไปประกอบกับโครงงานที่เกี่ยวข้องได้
3. สามารถนำไปประยุกต์กับการแข่งขัน @HOME ROBOT หุ่นยนต์เพื่อนบ้านริษยาได้

## 1.7 งบประมาณ

|                          |       |     |
|--------------------------|-------|-----|
| 1. ค่าวัสดุและอุปกรณ์    | 1,200 | บาท |
| 2. ค่าจัดทำรูปเล่มรายงาน | 800   | บาท |
| รวมเป็นเงินทั้งสิ้น      | 2,000 | บาท |

\*ขออนุญาตถ้าเกิดมีภาระการ



## บทที่2

### หลักการและทฤษฎี

ในบทนี้จะกล่าวถึงทฤษฎีที่ใช้ในการจัดทำโครงงาน ซึ่งประกอบไปด้วยทฤษฎีของแขนหุ่นยนต์ ทฤษฎีของข้อต่อและการหมุนแกน ทฤษฎีการเคลื่อนที่ของแขนกล ทฤษฎีการควบคุมมอเตอร์กระแสตรง (DC Motor) ทฤษฎีการควบคุมมอเตอร์ไวนิล็อกซ์ (Servo Motor) และทฤษฎีพื้นฐานของไมโครคอนโทรลเลอร์ (Microcontroller)

#### 2.1 แขนหุ่นยนต์ (Robot Arm)

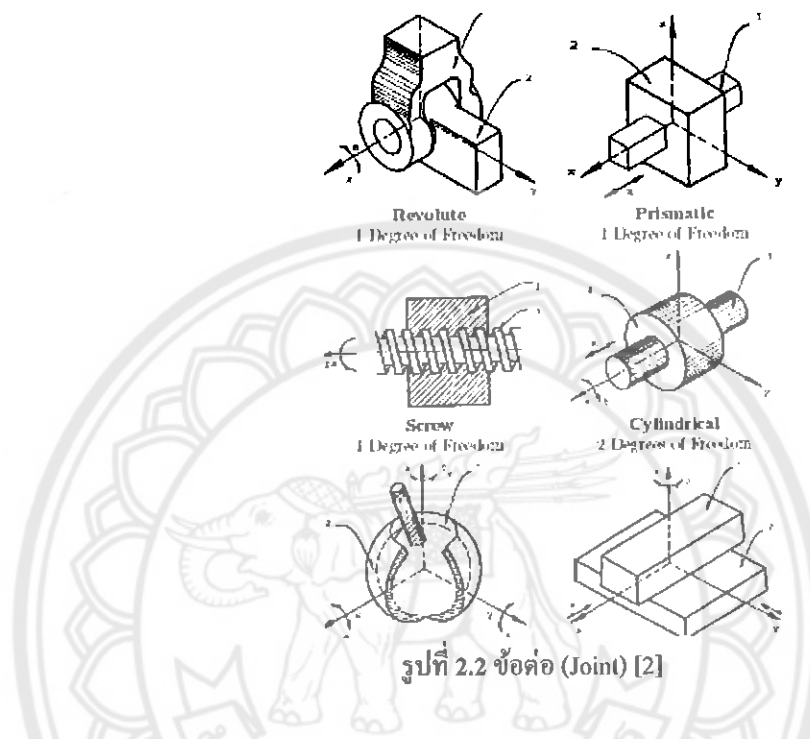
แขนหุ่นยนต์ที่ใช้ในงานวิจัยนี้เป็นแขนหุ่นยนต์ที่มีข้อต่อแบบหมุนทั้งหมด เรียกว่า articulated robot ประกอบไปด้วย 3 links และ 5 joint ประกอบกันเป็นแขนหุ่นยนต์ ซึ่งในแต่ละจุดที่สามารถเคลื่อนที่ได้อิสระ เรียกว่า degree-of-freedom (DOF)



รูปที่ 2.1 แขนกล (Robot Arm) [1]

## 2.2 ข้อต่อ (joint)

ข้อต่อ (joint) คือจุดเชื่อมท่อนแขน (link) แต่ละท่อนประกอบกันเป็นหุ้นหันต์แขนกล ข้อต่อมีหลายแบบ แต่ละแบบก็จะอนุญาตให้เกิดการเคลื่อนที่ของท่อนแขนที่แยกต่างกันไป รูปที่ 2.3 แสดง ข้อต่อแบบต่างๆ ที่นิยมใช้

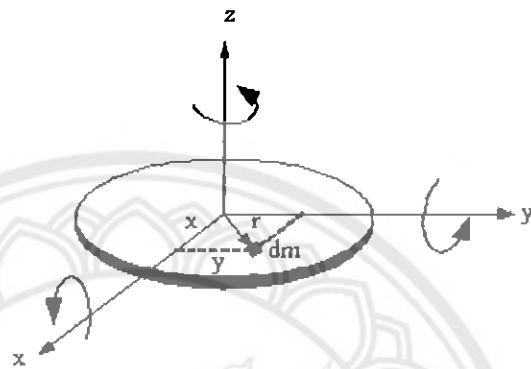


รูปที่ 2.2 ข้อต่อ (Joint) [2]

ในการสร้างแขนกล โดยทั่วไปข้อต่อที่นิยมใช้มากที่สุดคือข้อต่อแบบหมุน (revolute joint) และ ข้อต่อแบบเดือน (prismatic joint) สำหรับข้อต่อแบบหมุนท่อนแขนสองท่อนถูกบีบติดกันที่จุดหมุน ซึ่งอยู่บนท่อนแขน โดยแต่ละท่อนสามารถหมุนได้รอบจุดหมุนนี้ เราสามารถออกแบบตำแหน่งของสอง ท่อนแขนที่สัมพันธ์กันด้วยบุ้นที่ห่อนแขนหมุนไปส่วนข้อต่อแบบเดือนนั้นท่อนแขนสองท่อนติดอยู่ ด้วยกันในลักษณะเดียวกันกับเสาอากาศวิทยุรุ่บคนต์ที่บีบติดได้โดยท่อนแขนแต่ละท่อนสามารถ เดือนเข้าออกได้ในหนึ่งทิศทางเราสามารถกระเบนุคำแห่งที่สัมพันธ์กันของสองท่อนแขนได้จากระยะ เดือนข้าอกองค์กัน จะเห็นได้ว่าข้อต่อแบบหมุนและข้อต่อแบบเดือนมีระดับเสรีของ การเคลื่อนที่ เป็นหนึ่งเราเรียกว่าแบบที่กำหนดการเคลื่อนที่นี้ ซึ่ง ได้แก่ บุนหมุนของข้อต่อแบบหมุนและระยะ เดือนของข้อต่อแบบเดือนว่าเป็นพารามิเตอร์ของข้อต่อ การมีระดับเสรีของการเคลื่อนที่เป็นหนึ่งทำ ให้ง่ายในการออกแบบและวิเคราะห์ ข้อต่อทั้งสองแบบจึงถูกใช้มากที่สุดในการสร้างแขนกล โดย แขนกลที่มีระดับเสรีสูงๆ ก็สามารถสร้างขึ้นได้ โดยการประกอบท่อนแขนหลายท่อนด้วยข้อต่อ ส่องแบบนี้

### 2.2.1 การหมุนแกน (Rotation)

ก่อนจะศึกษาเรื่องการหมุนนั้นต้องรู้จักทฤษฎีแกนตั้งจากก่อนทฤษฎีแกนตั้งจากเป็นทฤษฎีที่ใช้ในการคำนวณหาค่าโมเมนต์ความเรื้อรังของวัตถุแข็งเครื่องที่มีลักษณะเป็นแผ่นบาง ๆ พิจารณาวัตถุหมุนรอบแกน  $x$ ,  $y$  และ  $z$



รูปที่ 2.3 ทฤษฎีแกนตั้งจาก [3]

$$\text{จาก } I = \int r^2 dm \quad (2.1)$$

เมื่อ  $r$  เป็นระยะจาก  $dm$  ถึงแกน  $x$  และ  $y$  เนื่องจากเป็นวัตถุแผ่นบางจะได้

$$I_z = \int r^2 dm \quad (2.2)$$

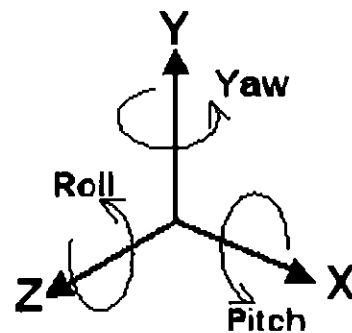
แต่  $r^2 = x^2 + y^2$

$$I_z = \int (x^2 + y^2) dm \quad (2.3)$$

$$= \int x^2 dm + \int y^2 dm \quad (2.4)$$

$$I_z = I_x + I_y \quad (2.5)$$

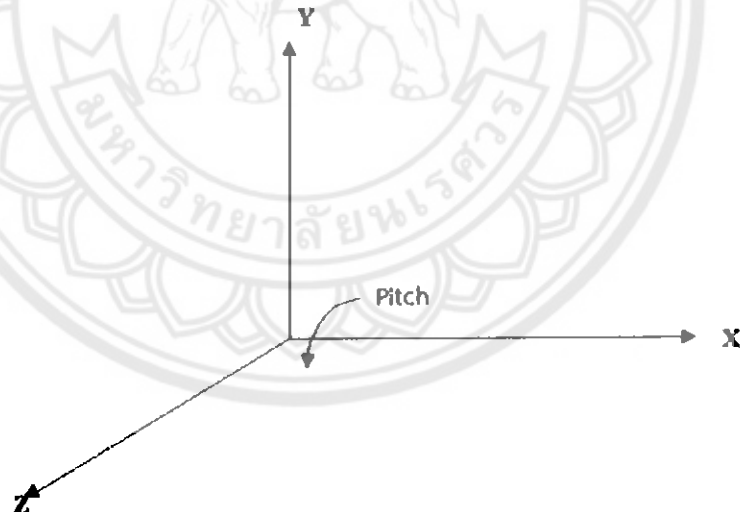
การหมุนภาพใน 3 มิติแบ่งเป็น 3 แบบดังนี้คือ



รูปที่ 2.4 แสดงการหมุนของแกน Roll, Yaw, Pitch [4]

แกนเดี่ยวกันจะมีชื่อเรียกแกนหมุนแบบสามลักษณะคือ Roll, Yaw, Pitch ซึ่งแกน Roll คือ แกนที่อยู่ในแนวแกน Z ดังรูปที่ 2.6 แกน Yaw คือแกนที่อยู่ในแกนแนวตั้งหรือแกน Y และแกน Pitch คือแกนที่อยู่ในแนวระนาบหรือแกน X

#### 2.2.1.1 หมุนรอบแกน X หรือหมุน Pitch



รูปที่ 2.5 การหมุนรอบแกน X

จะได้สมการ ดังนี้

$$X_i = X \quad (2.6)$$

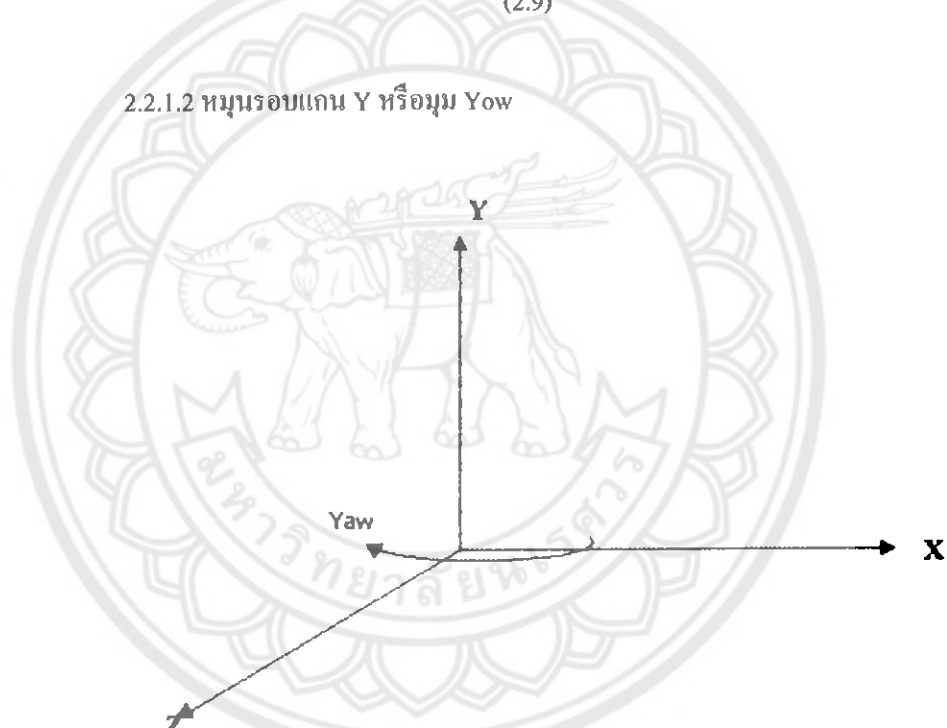
$$Y_i = Y \times \cos(\theta) - Z \times \sin(\theta) \quad (2.7)$$

$$Z_i = Y \times \sin(\theta) + Z \times \cos(\theta) \quad (2.8)$$

จากสมการเขียนเป็นรูปแบบเมตริกซ์ได้ดังนี้

$$\begin{bmatrix} x_1, y_1, z_1, 1 \end{bmatrix} = [x, y, z, 1] \begin{bmatrix} 1 & 0 & 0 & 0 \\ 0 & \cos(\theta) & \sin(\theta) & 0 \\ 0 & -\sin(\theta) & \cos(\theta) & 0 \\ 0 & 0 & 0 & 1 \end{bmatrix} \quad (2.9)$$

#### 2.2.1.2 หมุนรอบแกน Y หรือหมุน Yaw



รูปที่ 2.6 การหมุนรอบแกน Y

จะได้สมการ ดังนี้

$$X_i = Z \times \cos(\theta) - X \times \sin(\theta) \quad (2.10)$$

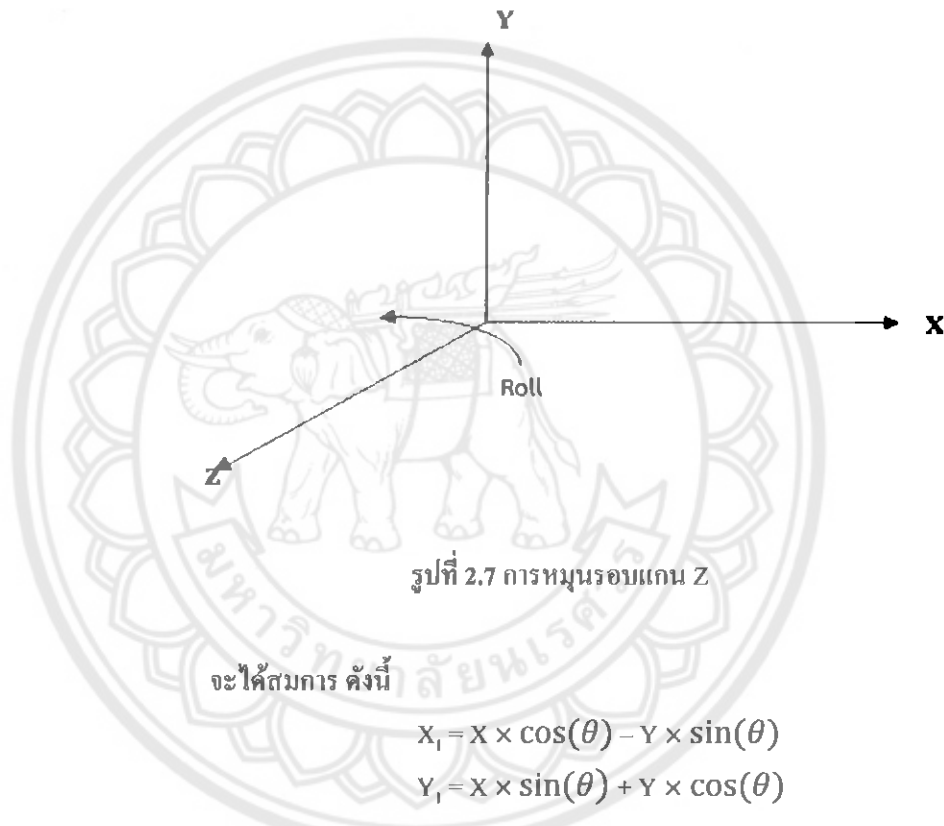
$$Y_i = Y \quad (2.11)$$

$$Z_i = Z \times \sin(\theta) + X \times \cos(\theta) \quad (2.12)$$

จากสมการเขียนเป็นรูปแบบเมตริกซ์ได้ดังนี้

$$[x_1, y_1, z_1, 1] = [x, y, z, 1] \begin{bmatrix} \cos(\theta) & 0 & -\sin(\theta) & 0 \\ 0 & 1 & 0 & 0 \\ \sin(\theta) & 0 & \cos(\theta) & 0 \\ 0 & 0 & 0 & 1 \end{bmatrix} \quad (2.13)$$

### 2.2.1.3 หมุนรอบแกน Z หรือหมุน Roll



จะได้สมการ ดังนี้

$$X_1 = X \times \cos(\theta) - Y \times \sin(\theta) \quad (2.14)$$

$$Y_1 = X \times \sin(\theta) + Y \times \cos(\theta) \quad (2.15)$$

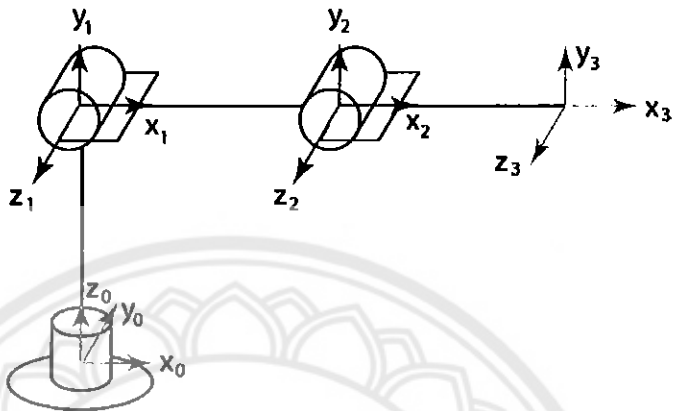
$$Z_1 = Z \quad (2.16)$$

จากสมการเขียนเป็นรูปแบบเมตริกซ์ได้ ดังนี้

$$[x_1, y_1, z_1, 1] = [x, y, z, 1] \begin{bmatrix} \cos(\theta) & \sin(\theta) & 0 & 0 \\ -\sin(\theta) & \cos(\theta) & 0 & 0 \\ 0 & 0 & 1 & 0 \\ 0 & 0 & 0 & 1 \end{bmatrix} \quad (2.17)$$

DOF (Degree Of Freedom) DOF มีความหมายได้หลายแบบ ได้แก่

- จำนวนพิกัดที่น้อยที่สุดที่สามารถใช้อธิบายการเคลื่อนที่ทั้งหมดของระบบได้
- จำนวนลักษณะของการเคลื่อนที่ที่เป็นอิสระต่อกัน
- จำนวนตัวเลขหรือตัวแปรที่น้อยที่สุดที่ใช้อธิบายสภาพของระบบ



รูปที่ 2.8 แสดงทิศทางของ Degree of Freedom (DOF) [5]

### 2.3 ทฤษฎีการเคลื่อนที่

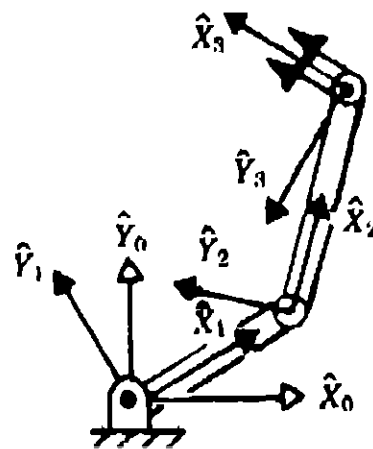
เมื่อนำคำແນ່ນໆທີ່ມີອັນຈິງໄປເຖິງກົນຽານຫຼືອບັດຕ້ອງຈະສາມາດເບີນສາມາດວິນສຳພັນຮັກນ ຮະຫວ່າງມູນຂອງມອເຕອຣ໌ ກັບคำແນ່ນໆປາຍແບນຫຸ່ນຍົດ ( $x, y, z$ ) ຄວາມສຳພັນນີ້ແປ່ງເປັນ 2 ປະເກດ ອີກ

#### 2.3.1 Forward kinematics

ຄືອກຮາຄ່າຕຳແໜ່ນໆປາຍແບນຫຸ່ນຍົດ ( $x, y, z$ ) ເມື່ອດໍາຫາດມູນຂອງມອເຕອຣ໌ແລ້ວ ຕຳແໜ່ນໆທີ່ປາຍມີອັນຈິງໄປເຖິງກົນຽານຫຼືອບັດຕ້ອງຈັກ 1 ຈະສາມາດເບີນສາມາດວິນສຳພັນຮັກນ ຮະຫວ່າງ ມູນຂອງແຕ່ລະບົບ ກັບ ຕຳແໜ່ນໆທີ່ປາຍມີອັນ ( $x, y, z$ ) ອູ້ໃນຮູບແບບແຕຣິກຂາດ  $4 \times 4$  ເຮັດວຽກ ພົມວິຊາ Compound Transformation ວິທີກາຮາຕຳແໜ່ນ ( $x, y, z$ ) ຂອງແບນຫຸ່ນຍົດໂຄຍທີ່ຮູ້ຄໍາມູນແຕ່ລະ ຊົ້ວໂມງ Forward kinematics ໃຊ້ທຸນສູງ Denavit - Hartenberg ເຂົ້າມາຈ່າຍ ຜົ່ງໃຊ້ໃນການຕັ້ງແກນ ແລະ ມາພາບາມີເຕອຣ໌

#### 2.3.2 Inverse kinematics

ຄືອກຮາຄ່າມູນຂອງມອເຕອຣ໌ເມື່ອດໍາຫາດຕຳແໜ່ນໆປາຍແບນຫຸ່ນຍົດ ( $x, y, z$ ) ໃນທາງ ກລັບກັນກັບ ພອຣເວອຣ໌ສົມເນເຕິກສ໌ (Forward kinematics) ດ້ວຍການໃຫ້ຫຸ່ນຍົດເຄີ່ອນທີ່ໄປ ບັນຕຳແໜ່ນໆ ( $x, y, z$ ) ທີ່ຕ້ອງການ ຈະຕ້ອງໃຊ້ວິທີກາຮົບອິນວິວອຣ໌ສົມເນເຕິກສ໌ (Inverse Kinematics) ເປັນວິທີຫາວ່າ  $\theta$ ; ຕ້ອງມີຄໍາໄຄນ້າງທີ່ຈະກຳໄໝມີອັນຈິງເຄີ່ອນທີ່ໄປບັນຍົດ ( $x, y, z$ ) ທີ່ຕ້ອງການ

รูปที่ 2.9 แสดงตัวอย่างของการหา  $\theta_i$  [6]

| i | $a_{i-1}$ | $d_i$ | $\theta_i$ |
|---|-----------|-------|------------|
| 1 | 0         | 0     | $\theta_1$ |
| 2 | 0         | $l_1$ | $\theta_2$ |
| 3 | 0         | $l_2$ | $\theta_3$ |

ตารางที่ 2.1 แสดงตัวอย่างของการหา  $\theta_i$ 

$$T_{0,3} = \begin{bmatrix} \cos(\theta_1 + \theta_2 + \theta_3) & -\sin(\theta_1 + \theta_2 + \theta_3) & 0 & l_1\cos(\theta_1) + l_2\cos(\theta_1 + \theta_2) \\ \sin(\theta_1 + \theta_2 + \theta_3) & \cos(\theta_1 + \theta_2 + \theta_3) & 0 & l_1\sin(\theta_1) + l_2\sin(\theta_1 + \theta_2) \\ 0 & 0 & 1 & 0 \\ 0 & 0 & 0 & 1 \end{bmatrix} \quad (2.18)$$

$$T_{0,3} = \begin{bmatrix} \cos(\phi) & -\sin(\phi) & 0 & x \\ \sin(\phi) & \cos(\phi) & 0 & y \\ 0 & 0 & 1 & 0 \\ 0 & 0 & 0 & 1 \end{bmatrix} \quad (2.19)$$

## គោលចាយ

### Solution Inverse Kinematics

$$W_x = x - (l_3 \times \cos(\theta)) \quad (2.20)$$

$$\theta \text{ គឺជា } \frac{\pi}{3}$$

$$W_y = y - (l_3 \times \sin(\theta)) \quad (2.21)$$

$$\cos(\theta_2) = \frac{(W_x + W_y) - (l_1 - l_2)}{2 \times l_1 \times l_2} \quad (2.22)$$

$$\sin(\theta_2) = \sqrt{1 - (\cos(\theta_2))^2} \quad (2.23)$$

$$\theta_2 = \text{Atan2}(-\sin(\theta_2), \cos(\theta_2)) \quad (2.24)$$

$$\text{atan2}(y, x) = \begin{cases} \arctan\left(\frac{y}{x}\right) & x > 0 \\ \arctan\left(\frac{y}{x}\right) + \pi & y \geq 0, x < 0 \\ \arctan\left(\frac{y}{x}\right) - \pi & y < 0, x < 0 \\ +\frac{\pi}{2} & y > 0, x = 0 \\ -\frac{\pi}{2} & y < 0, x = 0 \\ \text{undefined} & y = 0, x = 0 \end{cases}$$

រូបភាព 2.10 ផលងវិធីការคำนวณសមការ Atan2 [14]

ខាងក្រោមនឹងដោះស្រាយទិន្នន័យថា តើតុលាការណ៍នេះមិនអាចបង្ហាញបានទេ

$$\sin(\theta_1) = \frac{((l_1 + l_2 \times \cos(\theta_2)) \times W_y) - (l_2 \times \sin(\theta_2) \times W_x)}{(W_x + W_y)} \quad (2.25)$$

$$\cos(\theta_1) = \frac{((l_1 + l_2 \times \cos(\theta_2)) \times W_x) - (l_2 \times \sin(\theta_2) \times W_y)}{(W_x + W_y)} \quad (2.26)$$

$$\theta_1 = \text{Atan2}(\sin(\theta_1), \cos(\theta_1)) \quad (2.27)$$

จะได้ค่ามุมของข้อที่ 1 โดยมีหน่วยเป็น radian

$$\theta_3 = \emptyset - \theta_1 - \theta_2 \quad (2.28)$$

จะได้ค่ามุมของข้อที่ 3 โดยมีหน่วยเป็น radian

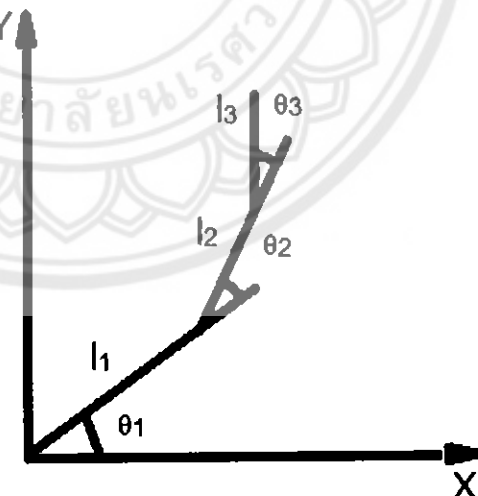
เนื่องจากค่าที่คำนวณได้นั้นมีหน่วยเป็น Radian จึงต้องทำการแปลงค่า Radian เป็น Degree จากสูตร  $r2d = \frac{180}{\pi}$  งานนั้นนำค่า r2d มาคูณเข้ากับค่ามุมที่ได้ในตอนแรก จะได้ส่วนการดังต่อไปนี้

$$\theta_{\text{degree}1} = (\theta_1 \times r2d) \quad (2.29)$$

$$\theta_{\text{degree}3} = (\theta_3 \times r2d) \quad (2.30)$$

$$\theta_{\text{degree}2} = (\theta_2 \times r2d) \quad (2.31)$$

จากขั้นตอนการคำนวณสูตรตามทฤษฎีของอินเวอร์สกิโนมิติกส์ จะได้ค่ามุมของทั้ง 3 ข้อที่มีหน่วยเป็นเดกรี



รูปที่ 2.11 แสดงลำดับของมุมและท่อนแขน [7]

สรุปแบบย่อได้ว่า ฟอร์เวอร์สกิเนมติกส์นี้เป็นการคำนวณหาตำแหน่งและทิศทางของมือหุ่นบนพื้นที่จากค่าของมุมข้อต่อขนาดของลิงก์ ซึ่งเป็นการแทนค่าด้วยแพร (มุมข้อต่อ) เพื่อหาตำแหน่งของหุ่นยนต์ ในทางกลับกันอินเวอร์สกิเนมติกส์ เป็นการคำนวณข้อนกลับจากการระบุตำแหน่งและทิศทางของมือหุ่นยนต์แล้วหาค่ามุมของทุกข้อต่อที่ต้องหมุนไป นั่นหมายความว่า เราต้องหาค่ามุมข้อต่อจากตำแหน่งเป้าหมายของหุ่นยนต์

## 2.4 มอเตอร์กระแสตรง (DC Motor)

มอเตอร์กระแสตรงจะมีหลักการทำงานโดยวิธีการผ่านกระแสไฟกับชุดลวดในสนามแม่เหล็กซึ่งจะทำให้เกิดแรงแม่เหล็ก โดยส่วนของแรงนี้จะขึ้นอยู่กับกระแสและกำลังของสนามแม่เหล็ก



รูปที่ 2.12 มอเตอร์กระแสตรง (DC Motor) [8]

### 2.4.1 หลักการทำงานของมอเตอร์กระแสตรง

การควบคุมความเร็วของมอเตอร์กระแสตรงมีหลายวิธีด้วยกัน ซึ่งอาจจะใช้วิธีการควบคุมแบบพื้นฐานทั่วไป เช่น การควบคุมด้วยวิธีการใช้ตัวด้านหน้าปรับค่าโคลชต์อนุกรมกับมอเตอร์ หรือใช้วิธีการการควบคุมโดยการเปลี่ยนถ่ายของระดับแรงดันที่ป้อนให้กับมอเตอร์ แต่การควบคุมในวิธีดังกล่าวถึงแม้ว่าจะควบคุมความเร็วของมอเตอร์ให้คงที่ได้ แต่ที่ความเร็วต่ำจะส่งผลให้แรงบิดต่ำไปด้วย ดังนั้น เราจึงเลือกใช้วิธีการควบคุมโดยการจ่ายกระแสไฟให้กับมอเตอร์เป็นช่วงๆ โดยขาดับเบิลกระแสไฟที่ป้อนให้กับมอเตอร์ให้เป็นค่าเฉลี่ยที่เกิดขึ้นในแต่ละช่วง ซึ่งเราเรียกว่าวิธีการของ Modulation ทางความกว้างของสัญญาณ PWM (Pulse Width Modulation)

## 2.5 เซอร์โวมอเตอร์ (Servo Motor)

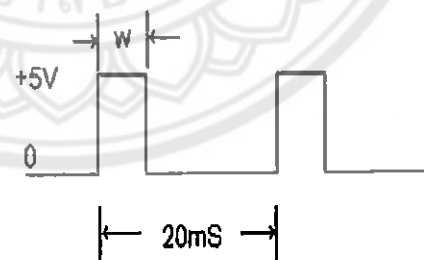
เซอร์โวมอเตอร์ คือมอเตอร์ไฟฟ้ากระแสตรงที่ถูกประกอบร่วมด้วยชุดเกียร์และส่วนควบคุม ต่างๆ ไว้ในโมดูลเดียวกัน โดยจะมีสัญญาณใช้งาน 1 เส้น และอีก 2 เส้นเป็น VCC และ GND เท่านั้น ซึ่งสามารถควบคุมให้ตัวเซอร์โวมอเตอร์หมุนซ้าย หรือ ขวาได้ +90 องศา - 90 องศา (180 องศา)



รูปที่ 2.13 เซอร์โวมอเตอร์ [9]

### 2.5.1 หลักการทำงานของเซอร์โวมอเตอร์

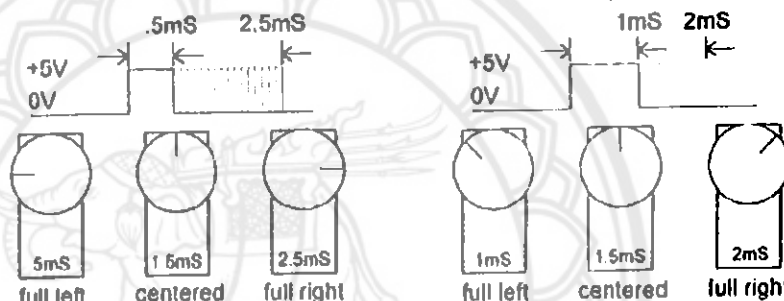
เซอร์โวมอเตอร์สามารถควบคุมการทำงานได้โดยป้อนสัญญาณความกว้างถูกคลื่น (pulse) ให้กับเซอร์โวมอเตอร์ ซึ่งความกว้างของสัญญาณถูกคลื่นนี้จะไปกำหนดตำแหน่งของ เซอร์โวมอเตอร์ ว่าจะหมุนไปอยู่ตำแหน่งใด ซึ่งเราสามารถป้อนความกว้างถูกคลื่นได้ตั้งแต่ 1.0 ms – 2.0 ms โดยที่ความเวลา (Period) ในการส่งสัญญาณความกว้างถูกคลื่นเท่ากับ 20 ms ดังแสดงในรูปที่ 2.4



รูปที่ 2.14 สัญญาณถูกคลื่นที่สามารถป้อนให้กับเซอร์โวมอเตอร์ [3]

โดยจะมีจุดที่อ้างอิงตำแหน่ง 3 จุดด้วยกันคือ

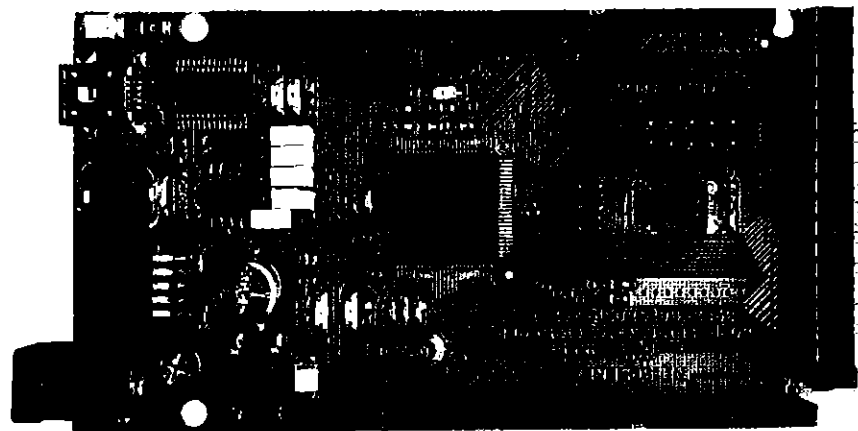
1. ตำแหน่งซ้ายสุด เราสามารถกำหนดให้เซอร์โวมอเตอร์ เคลื่อนที่ไปยังตำแหน่งซ้ายสุด (-90 องศา) ได้โดยการป้อนความกว้างถูกกลืนเท่ากับ  $0.5 \text{ ms}$
2. ตำแหน่งตรงกลาง เราสามารถกำหนดให้เซอร์โวมอเตอร์ เคลื่อนที่ไปยังตำแหน่งตรงกลาง (0 องศา) ได้โดยการป้อนความกว้างหน้าคัลลินเท่ากับ  $1.5 \text{ ms}$
3. ตำแหน่งขวาสุด เราสามารถกำหนดให้เซอร์โวมอเตอร์ เคลื่อนที่ไปยังตำแหน่งขวาสุด (90 องศา) ได้โดยการป้อนความกว้างถูกกลืนเท่ากับ  $2.5 \text{ ms}$  จากสูตรอ้างอิงตำแหน่งทั้ง 3 ทำให้สามารถคำนวณตำแหน่งที่ต้องการให้หมุนไปได้ เช่นถ้าต้องการเซอร์โวมอเตอร์หมุนไปยังตำแหน่ง -45 องศา ที่ทำการป้อน  $\frac{(0.5+1.5)}{2} = 1.0 \text{ ms}$  ให้กับเซอร์โวมอเตอร์



รูปที่ 2.15 แสดงตำแหน่งของเซอร์โวมอเตอร์เมื่อป้อนความกว้าง pulse [3]

## 2.6 ไมโครคอนโทรลเลอร์ ATmega1280

ไมโครคอนโทรลเลอร์ ATmega1280 เป็นชิปคระภูด AVR มีระบบรองรับโปรแกรมภาษาซีของ Arduino ซึ่งใช้เป็นหน่วยประมวลผลหลัก โดยชิพนี้มีหน่วยความจำแฟลชสำหรับเก็บการเขียนโปรแกรม 128 กิโลไบต์ และมีหน่วยความจำแรม 8 กิโลไบต์ มี EEPROM อีก 4 กิโลไบต์สำหรับใช้เป็นที่เก็บข้อมูลตัวรับ ได้ เมื่อไม่มีไฟเลี้ยง และยังมีขานำเข้า/ส่งออก (I/O) สำหรับต่อใช้งานทั่วไป 86 ขา มี PWM (Pulse Width Modulation หรือ การปรับความกว้างของพัลส์) โดยการนำเอาสองสัญญาณมาเบริบันเทียบกัน) ที่กำหนดความละเอียดได้ระดับ 16 บิตให้ใช้งานถึง 12 ช่องสัญญาณ มีช่องสื่อสารแบบอนุกรม 4 พอร์ต และสามารถแปลงสัญญาณอนาล็อกเป็นดิจิตอล (ADC) อีก 16 ช่องสัญญาณ ซึ่งจะเห็นว่ามีความสามารถพื้นฐานที่มากพอสำหรับงานควบคุมที่หลากหลาย สามารถทำงานได้โดยใช้ชิปเดียว มีคำสั่งที่สนับสนุนการเขียนโปรแกรมควบคุมและสามารถเข้าถึงข้อมูลระดับบิตได้



รูปที่ 2.16 ไมโครคอนโทรลเลอร์ ATmega1280 [10]

### 2.6.1 คุณสมบัติของไมโครคอนโทรลเลอร์ ATmega1280

- เป็นไมโครคอนโทรลเลอร์ขนาด 8 บิตประสิทธิภาพสูงแต่ใช้พลังงานต่ำในครรภุล AVR สถาปัตยกรรมแบบ RISC (Reduced Instruction Set Computer)
- มีชุดคำสั่ง 135 คำสั่ง และส่วนใหญ่คำสั่งเหล่านี้จะใช้เพียง 1 สัญญาณนาฬิกาในการประมวลผลคำสั่ง
- มีรีจิสเตอร์สำหรับใช้งานทั่วไปขนาด 8 บิต จำนวน 32 ตัว
- ทำงานได้สูงสุดที่ 16 ล้านคำสั่งต่อวินาที (MIPS) เมื่อใช้สัญญาณนาฬิกา 16 เมกะاهرتز (MHz)
- หน่วยความจำแฟลชสำหรับโปรแกรมขนาด 128 กิโลไบต์เขียนหรือลบได้ 10,000 ครั้ง
- หน่วยความจำแบบ EEPROM ขนาด 4 กิโลไบต์ เขียน/ลบได้ 100,000 ครั้ง
- หน่วยความจำแรมชนิด SRAM ขนาด 8 กิโลไบต์
- มีระบบโปรแกรมตัวเองอยู่ในตัวชิป
- สามารถทำการอ่านและเขียนได้จริงโดยสามารถเลือกการทำงานได้เพื่อความปลอดภัยของซอฟต์แวร์
- มีการเชื่อมประสานกับ JTAG (IEEE std. 1149.1 compliant)

### 2.6.2 คุณสมบัติการเชื่อมต่อกับอุปกรณ์ภายนอก

- มีตัวตั้งเวลาและตัวนับขนาด 8 บิต จำนวน 2 ตัว ที่สามารถแยกโหมดการทำงานจากกันได้ 2 โหมดคือ Prescalar และ Compare
- มีตัวตั้งเวลาและตัวนับขนาด 16 บิต จำนวน 4 ตัว ที่แยกโหมดการทำงานได้ 3 โหมดคือ Prescaler, Compare และ Capture
- มีตัวนับแบบเวลาจริง (Real Time Counter) ที่แยกวงจรกำหนดความถี่ได้
- มี PWM จำนวน 12 ช่องสัญญาณที่สามารถกำหนดความละเอียดได้ 16 บิต
- มีตัวปรับผลการเปรียบเทียบของเอาท์พุต
- มีตัวแปลงสัญญาณอนาล็อกให้เป็นดิจิตอลขนาด 10 บิต จำนวน 16 ช่องสัญญาณ
- มีพอร์ตต่อสารอุปกรณ์ที่สามารถกำหนดอัตราการรับ/ส่งได้จำนวน 4 พอร์ต
- เชื่อมประสานอนุกรมแบบ SPI ได้ทั้งการเป็น Master และ Slave
- มีการเชื่อมประสานแบบอนุกรมด้วยสายสัญญาณ 2 เส้นแบบส่งข้อมูลแบบเรียงไบต์ (Byte Oriented)
- มีตัวตั้งเวลาแบบ Watchdog ที่สามารถกำหนดการทำงานได้โดยสามารถแยกสัญญาณมาใช้ได้จากตัวชิพ
- มีตัวเปรียบเทียบสัญญาณแบบอนalogอยู่ในตัว
- มีการรองรับการขัดจังหวะและ Wake-up เมื่อมีการเปลี่ยนแปลงเกิดขึ้นกับขาของชิพ

### 2.6.3 คุณสมบัติพิเศษ

- มีระบบเริ่มระบบเมื่อมีการรีเซ็ตและมีระบบตรวจสอบจังหวะ Brown-out ที่สามารถกำหนดการทำงานได้
- มีตัวตรวจหาความเที่ยงตรงของอสซิลเลเตอร์อยู่ในตัว (Internal Calibrated Oscillator)
- มีแหล่งการขัดจังหวะทั้งภายในและภายนอก (External and Internal Interrupt Sources)

- มีโหมดการทำงาน sleep 6 แบบ คือ : Idle, ADC Noise Reduction, Power-save, Power-down, Standby, และ Extended Standby
- มีขาของ I/O ที่สามารถกำหนดการทำงานได้ 86 ขา
- ตัวถังแบบ TQFP ชนิด 100 ขา
- ช่วงอุณหภูมิที่ชิพทำงานได้ -40°C ถึง 85°C
- โหมดการทำงาน: ที่ 1 MHz ต้องการแรงดัน 1.8V กระแส 500 μA
- โหมด Power-down ต้องการกระแสเพียง 0.1 μA ที่แรงดัน 1.8V

บทนี้ได้กล่าวถึงทุกอย่างที่จำเป็นต้องรู้และนำไปใช้ประกอบในการดำเนินโครงการนี้ ในบทต่อไปจะเป็นการดำเนินโครงการว่ามีขั้นตอนอย่างไร

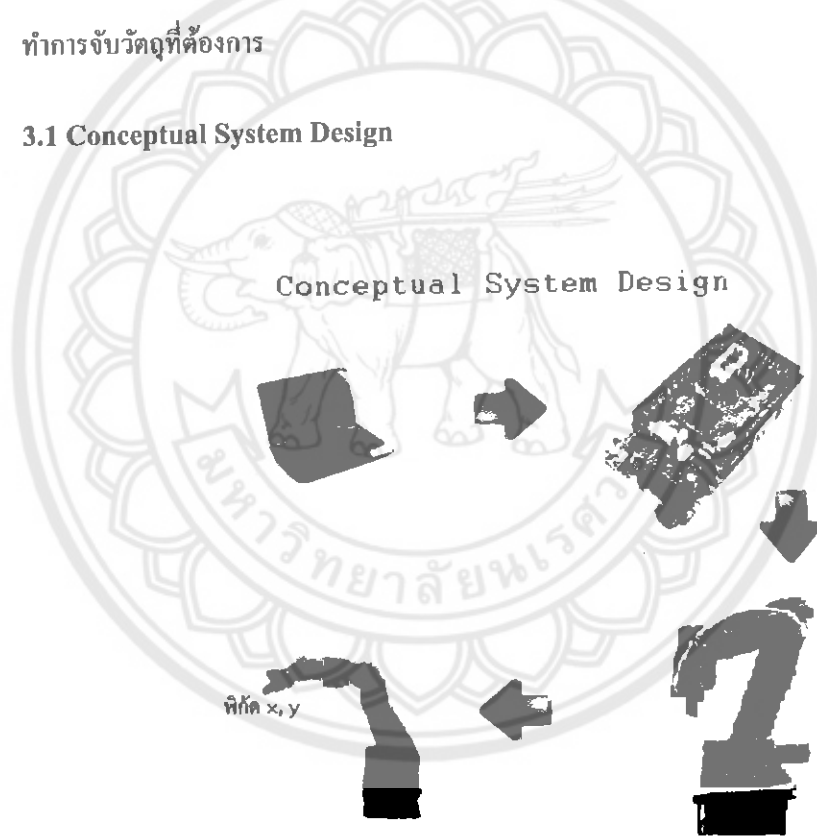


## บทที่ 3

### วิธีการดำเนินโครงการ

จากการศึกษาทุกถึงจากบทที่ 2 ทำให้ทางผู้จัดทำสามารถวางแผนการดำเนินงานเพื่อพัฒนาหุ่นยนต์แขนกลอัตโนมัติ และเลือกใช้ทฤษฎีของอินเวอร์สกิเนมเมติกส์ (Inverse Kinematics) เป็นอัลกอริทึมในการพัฒนาระบบควบคุมแขนกลไปยังพิกัดที่ต้องการ และออกแบบ Conceptual System Design โดยมีหลักการทำงานเริ่มต้นจาก การสั่งค่าพิกัดลงในโปรแกรมในคอมพิวเตอร์เพื่อทำการคำนวณ จากนั้น โปรแกรมจะทำการสั่งค่าที่ได้ไปสั่งแขนกลแต่ละข้อผ่านบอร์ด Arduino เพื่อทำการขับวัสดุที่ต้องการ

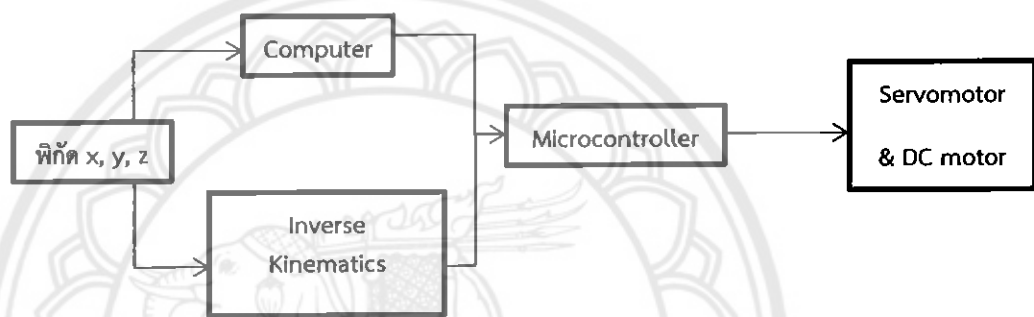
#### 3.1 Conceptual System Design



รูปที่ 3.1 Conceptual System Design

ขั้นตอนการทำงานเบื้องต้นของหุ่นยนต์แขนกลอัตโนมัติ สามารถอธิบายได้ตามไกด์ไลน์ในรูปที่ 3.2 โดยเริ่มด้วยการป้อนค่าพิกัดลงในโปรแกรมในคอมพิวเตอร์แล้วโปรแกรมจะใช้อัลกอริทึมอินเวอร์สคิเนมติกส์ในการคำนวณหาค่าองศาของแขนในแต่ละข้อจากนั้นจะส่งค่าองศาที่คำนวณได้ไปยังในโทรศัพท์มือถือเพื่อสั่งงานเซอร์โวมอเตอร์ (Servo Motor) และ มอเตอร์กระแสตรง (DC Motor) ทำให้ปลายแขนเคลื่อนไปยังจุดพิกัดที่ต้องการ

### 3.2 Diagram การทำงาน



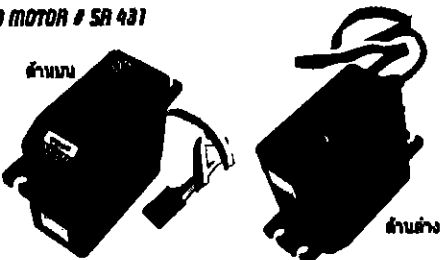
รูปที่ 3.2 ไกด์ไลน์แสดงการทำงานของระบบควบคุมแขนกลอัตโนมัติ

### 3.3 การพัฒนาโครงสร้างของหุ่นยนต์แขนกลอัตโนมัติ

#### 3.3.1 ส่วนประกอบของหุ่นยนต์แขนกลอัตโนมัติ

การพัฒนาโครงสร้างหุ่นยนต์แขนกลอัตโนมัติใช้วัสดุอยู่ปักร์ ดังนี้

|   |       |
|---|-------|
| - Servo Motor รุ่น SR431                        | 2 ตัว |
| - Servo Motor รุ่น Futaba S3003                 | 1 ตัว |
| - Servo Motor รุ่น GWS S30T                     | 1 ตัว |
| - Motor worm gear 12vdc 10RPM                   | 1 ตัว |
| - กระป๊อฟ                                       | 1 ชุด |
| - Potentiometer ชนิด B ขนาด $10\text{ k}\Omega$ | 1 ชุด |

**SERVO MOTOR / SR 431**

ขนาด : 42.0 x 20.5 x 39.5 mm.

น้ำหนัก : 62 g

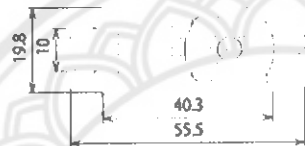
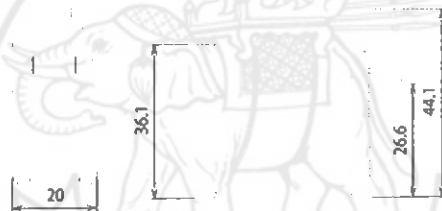
SPEED : 0.2 sec/60° (6.0V), 0.18 sec/60° (7.4V)

TORQUE : 12.2 kg.cm. (6.0V), 14.5 kg.cm. (7.4V)

GEAR : 5 METAL GEAR, 2 BEARING

เป็น SERVO MOTOR แบบกมุน 180 องศา ออกแบบให้ใช้กับงานประมวลผลที่ต้องมีความเร็ว  
ให้พิเศษของ SERVO เพื่อความแม่นยำ ในการทำกราฟิกที่มี 2 ลักษณะคือ SERVO. ระบบ  
GEAR กดไฟเบอร์แก้วโดยตรง เป็น SERVO แบบ ANALOG

รูปที่ 3.3 รายละเอียดของเซอร์โวมอเตอร์ รุ่น SR431 [11]

**S3003**

รูปที่ 3.4 รูป่างและขนาดของเซอร์โวมอเตอร์ รุ่น Futaba S3003 [12]



Motor worm gear 12vdc  
แบบถูกเมื่อยุดจ่ายไฟ  
ความเร็ว 10 rpm (รอบต่อนาที)  
ขนาดแกน 5 mm.  
ขนาดหัวเกียร์ 3 x 4 x 6 cm.  
ขนาดมอเตอร์ 3 x 5.5 cm.  
รับน้ำหนักได้ไม่เกิน 46kg / cm.

รูปที่ 3.5 รายละเอียดของมอเตอร์กระ世家ต์ริง Motor worm gear 12vdc 10RPM [13]

### 3.3.2 ลำดับprocrogสร้างของหุ่นยนต์แขนกลอัตโนมัติ

สำหรับprocrogสร้างของหุ่นยนต์แขนกลอัตโนมัตินี้จะแบ่งได้เป็น 5 ส่วน ดังนี้

ส่วนที่ 1 คือจุดหมุนของลำตัวหุ่นยนต์แขนกลอัตโนมัติใช้เซอร์โวมอเตอร์รุ่น GWS S30T ในการขับเคลื่อน

ส่วนที่ 2 คือจุดหมุนข้อศอกของหุ่นยนต์แขนกลอัตโนมัติใช้มอเตอร์ตัวหนอน (Motor worm gear) ในการขับเคลื่อน

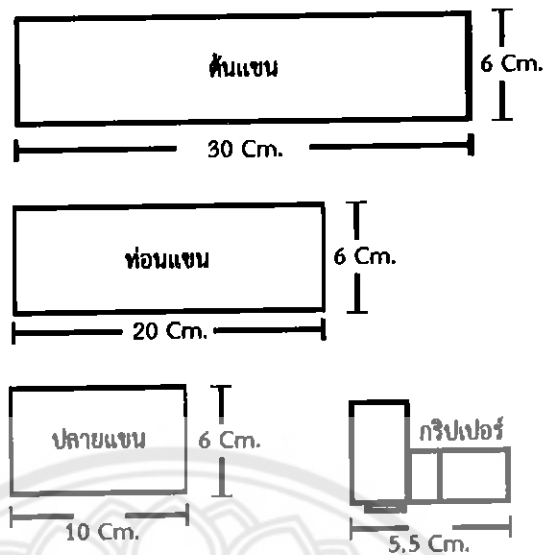
ส่วนที่ 3 คือจุดหมุนข้อมือของหุ่นยนต์แขนกลอัตโนมัติใช้เซอร์โวมอเตอร์รุ่น SR431 ในการขับเคลื่อน

ส่วนที่ 4 คือจุดหมุนข้อมือของหุ่นยนต์แขนกลอัตโนมัติใช้เซอร์โวมอเตอร์รุ่น SR431 ในการขับเคลื่อน

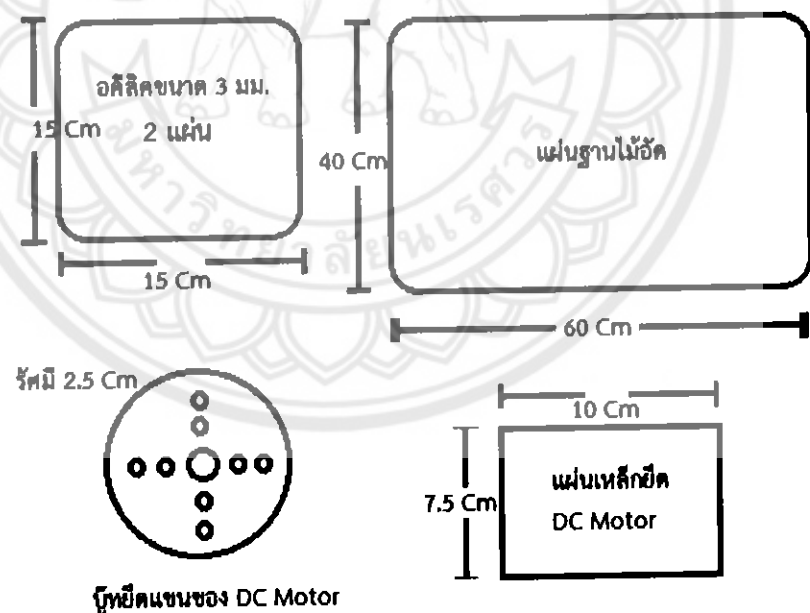
ส่วนที่ 5 คือมือขับซึ่งจะใช้กริปเปอร์ต่อ กับเซอร์โวมอเตอร์รุ่น Futaba S3003 ให้ทำงานร่วมกันในการขับวัดดู



รูปที่ 3.6 แสดงprocrogสร้างของหุ่นยนต์แขนกล



รูปที่ 3.7 แสดงขนาดของแผ่นแต่ละ link และตัวกริปเปอร์

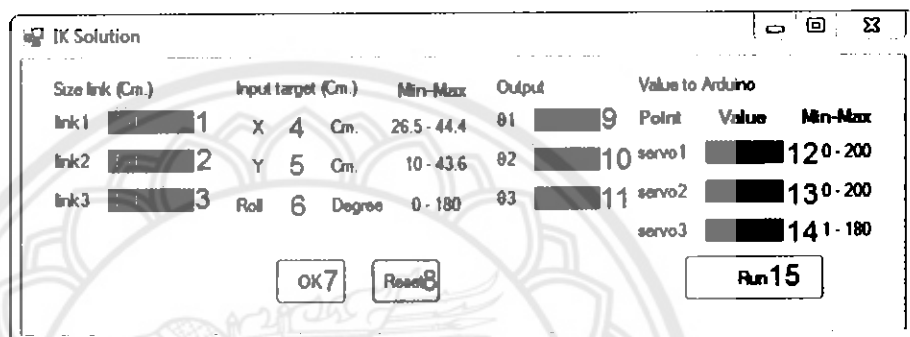


รูปที่ 3.8 แสดงขนาดของส่วนประกอบต่างๆ ของแขนกลอ้ต โนม็ต

### 3.4 วิธีการใช้งานโปรแกรม Inverse Kinematics

ให้กำหนดพิกัด X, Y, Roll และความขาวของแขนแต่ละท่อน จำนวนนั้นนำมาเข้าสู่ตรรกณิต การคำนวณของอินเวอร์สกิเนมติกส์จะบอกกำหนดให้ x, y, roll คือ จุดพิกัดของแกน X, Y, Roll และ I, คือความขาวของแขนท่อนที่ 1, I<sub>2</sub> คือความขาวของแขนท่อนที่ 2, I<sub>3</sub> คือความขาวของแขนท่อนที่ 3

#### 3.4.2 อธิบายหน้า Interface ของโปรแกรม



รูปที่ 3.9 ลักษณะหน้าตาของโปรแกรม

หมายเหตุ 1 ความขาวของแขนท่อนที่ 1

หมายเหตุ 2 ความขาวของแขนท่อนที่ 2

หมายเหตุ 3 ความขาวของแขนท่อนที่ 3

หมายเหตุ 4 รับค่า Input พิกัดแกน X

หมายเหตุ 5 รับค่า Input พิกัดแกน Y

หมายเหตุ 6 รับค่า Input พิกัดแกน Roll

หมายเหตุ 7 กดเพื่อสั่งให้โปรแกรมทำการคำนวณค่าแล้วแสดงค่า Output

หมายเหตุ 8 กดเพื่อเรียกค่า Input ทั้งหมด

หมายเหตุ 9 แสดงค่า Output ของมุม θ1

หมายเลขอ 10 แสดงค่า Output ของมุม θ2

หมายเลขอ 11 แสดงค่า Output ของมุม θ3

หมายเลขอ 12 แสดงค่า Value โปรแกรมส่งไปสั่งการเซอร์โวมอเตอร์ตัวที่ 1

หมายเลขอ 13 แสดงค่า Value โปรแกรมส่งไปสั่งการเซอร์โวมอเตอร์ตัวที่ 2

หมายเลขอ 14 แสดงค่า Value โปรแกรมส่งไปสั่งการเซอร์โวมอเตอร์ตัวที่ 3

หมายเลขอ 15 คดเพื่อสั่งให้โปรแกรมส่งค่าไปยังบอร์ดเพื่อสั่งการแขนกล

เมื่อโปรแกรมได้รับค่าพิกัด X, Y, Roll แล้วนั้นโปรแกรมจะทำการคำนวณผ่านสมการของอินเวอร์สคิเนเนติกส์แล้วจากนั้นจะได้ค่ามุมของแต่ละข้ออกรมาหากันนั้น โปรแกรมจะนำค่ามุมของข้อแต่ละจุดที่มีหน่วยเป็นดีกรี ส่งต่อไปยังบอร์ดไมโครคอนโทรลเลอร์เพื่อสั่งงานมอเตอร์ส่วนต่างๆกล่องที่ เพื่อให้ได้มุมของข้อแต่ละจุดตามที่คำนวณได้

บทนี้กล่าวถึงวิธีและขั้นตอนค่างๆของการดำเนินงานเพื่อสร้างชิ้นงานและทำความเข้าใจกันด้วยโปรแกรมการสั่งการที่พัฒนาขึ้นมา จากนั้นจะนำไปทดสอบในบทต่อไป

## บทที่ 4

### ผลการทดลอง

ในบทนี้จะกล่าวถึงการทดสอบการทำงานของโปรแกรมการคำนวณและแขนกลอัตโนมัติที่พัฒนาขึ้นมา ว่ามีความแม่นยำมากน้อยเพียงใด มีปัญหาหรือข้อผิดพลาด ณ จุดใดเพื่อทำการวิเคราะห์ปัญหาแล้วแก้ไขหรือให้เป็นแนวทางในการที่จะนำไปพัฒนาต่อไป

#### 4.1 จุดประสงค์ของการทดลอง

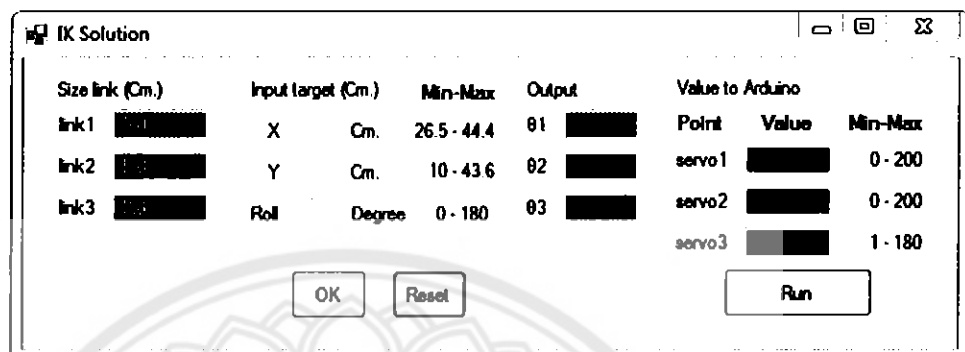
- 4.1.1 เพื่อทดสอบโปรแกรมที่พัฒนาขึ้นมาว่าสามารถทำงานได้หรือไม่
- 4.1.2 เพื่อทดสอบการสั่งงานจากเครื่องคอมพิวเตอร์ว่าอัลกอริทึมที่ใช้มีความแม่นยำเพียงใด และมีความคลาดเคลื่อนเท่าไหร่
- 4.1.3 เพื่อทดสอบการเคลื่อนที่ของแขนกลในส่วนข้อต่อต่างๆว่าสามารถทำงานได้ตามคำสั่งของผู้ใช้ได้หรือไม่
- 4.1.4 เพื่อทดสอบหาข้อผิดพลาดที่เกิดขึ้นกับโปรแกรมที่พัฒนาขึ้นและแขนกล พร้อมทั้งนำข้อผิดพลาดมาทำการวิเคราะห์ถึงปัญหา การปรับปรุงแก้ไขข้อผิดพลาดที่เกิดขึ้น และแนวทางในการพัฒนาต่อไป

#### 4.2 ขั้นตอนการทดลอง

- 4.2.1 จัดเตรียมการทดลอง โดยนำอัลกอริทึมมาแปลงเป็นโค้ด (Code) ลงในโปรแกรม C# เพื่อพัฒนาแล้วส่งค่าที่คำนวณได้ไปยัง บอร์ดไมโครคอนโทรลเลอร์ (Arduino ATmega1280)
- 4.2.2 นำแขนกลอัตโนมัติมาต่อเข้ากับบอร์ดไมโครคอนโทรลเลอร์ที่เชื่อมต่อเครื่องคอมพิวเตอร์โดยผ่านพอร์ตต่อ埠ุกรรม (USB)
- 4.2.3 ตรวจสอบข้อผิดพลาดที่เกิดขึ้นกับโปรแกรมที่พัฒนาขึ้นและแขนกลอัตโนมัติจะทำการทดสอบ จากนั้นนำข้อผิดพลาดมาทำการวิเคราะห์ถึงปัญหา การปรับปรุงแก้ไขข้อผิดพลาดที่เกิดขึ้น และแนวทางในการพัฒนาต่อไป

### 4.3 ขั้นตอนทดสอบโปรแกรม

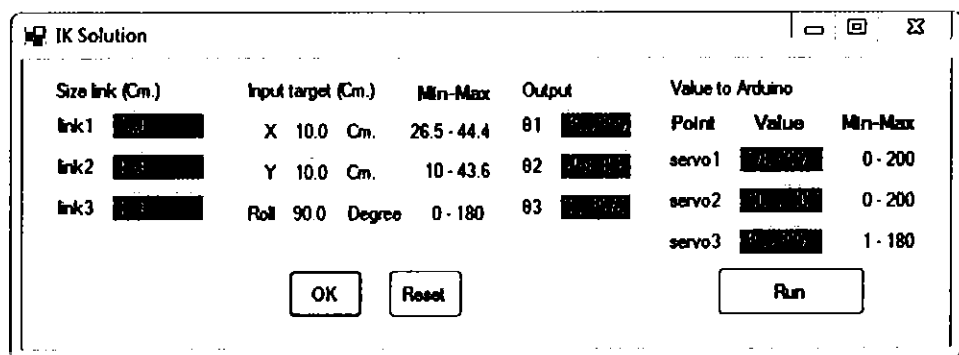
โปรแกรมที่ใช้ทางผู้จัดทำได้พัฒนาขึ้นมาเอง โดยพัฒนาด้วยภาษา C# ในการพัฒนาขึ้นมา หน้าตาของโปรแกรมมีลักษณะดังรูปที่ 4.1



รูปที่ 4.1 แสดงตัวโปรแกรมที่พัฒนาขึ้นมา

การทดสอบโปรแกรมจะทำการกรอกค่าพิกัดแกน X, Y, Z ลงในโปรแกรมเพื่อให้โปรแกรมทำการคำนวณหาค่ามุมแต่ละจุดแล้วแสดงค่าผลลัพธ์ที่ได้ จากนั้นนำผลลัพธ์ที่ได้ในแต่ละมุมมาคิดลงในกระดาษกราฟในอัตราส่วนที่สมจริงเพื่อศึกษาถูกต้องของการคำนวณของโปรแกรม

การทดสอบครั้งที่ 1 ดังรูปที่ 4.2

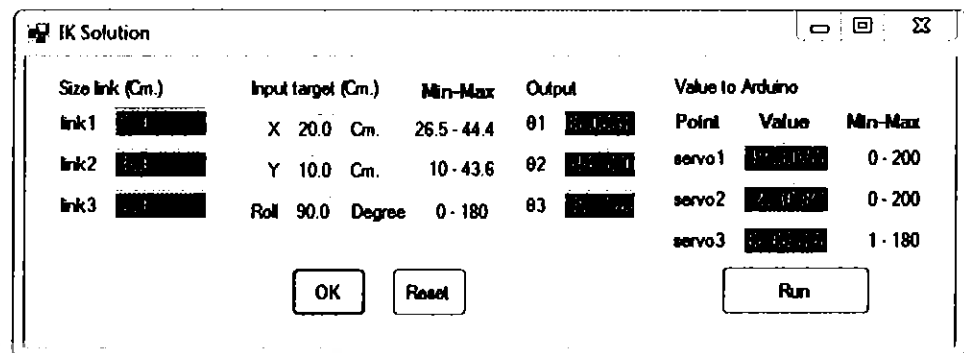


รูปที่ 4.2 การทดสอบโปรแกรมครั้งที่ 1

จากการทดสอบจะเห็นได้ว่าโปรแกรมไม่สามารถคำนวณได้เนื่องจากเกินขอบเขตของการเคลื่อนที่



การทดสอบครั้งที่ 2 ดังรูปที่ 4.3



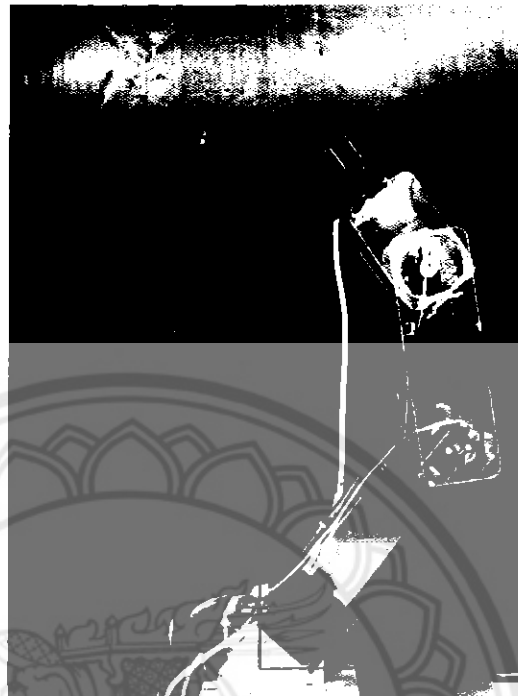
รูปที่ 4.3 การทดสอบโปรแกรมครั้งที่ 2

จะได้กราฟดังรูปที่ 4.4



รูปที่ 4.4 แสดงกราฟการทำมุมของแขนและปลายแขนของการทดสอบครั้งที่ 2

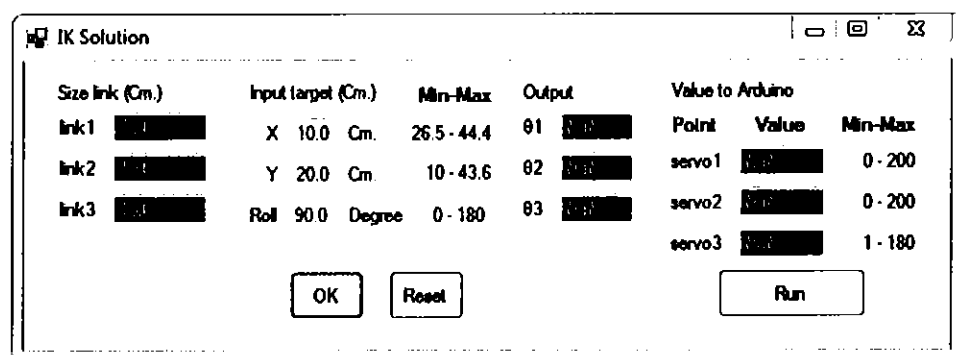
### แผนกลทามุนคั้งรูป 4.5



รูปที่ 4.5 แสดงลักษณะของแผนกลของการทดสอบครั้งที่ 2

จากการเปรียบเทียบตำแหน่งพิกัดของปลายแขน ระหว่างกราฟที่วัดจากองศาที่ได้กับการเคลื่อนที่จริงของแผนกลทำให้รู้ว่าพิกัดที่ให้ไปเกินขอบเขตของชาร์ดแวร์จึงทำให้เกิดความผิดพลาดในการเคลื่อนที่

การทดสอบครั้งที่ 3 ค้างรูปที่ 4.6

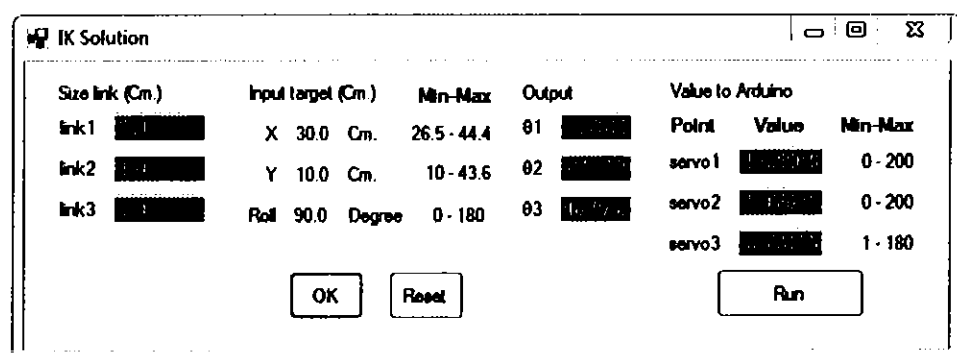


รูปที่ 4.6 การทดสอบโปรแกรมครั้งที่ 3

จากการทดสอบจะเห็นได้ว่าโปรแกรมไม่สามารถคำนวณได้เนื่องจากเกินขอบเขตของการเคลื่อนที่



การทดสอบครั้งที่ 4 ค้างรูปที่ 4.7



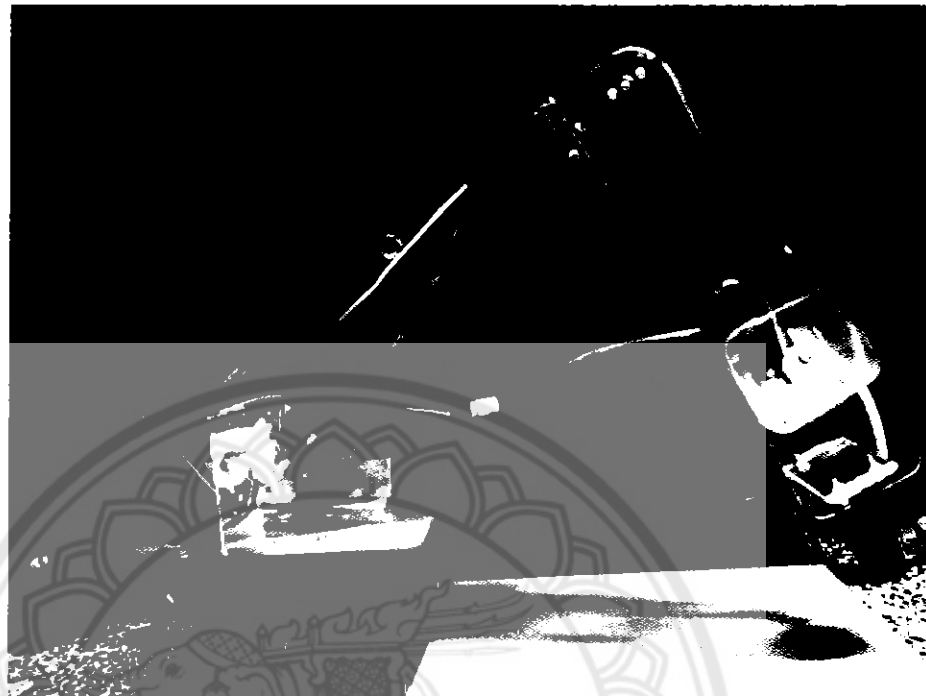
รูปที่ 4.7 การทดสอบโปรแกรมครั้งที่ 4

จะได้กราฟค้างรูปที่ 4.8



รูปที่ 4.8 แสดงกราฟการนำมุมของแขนและปลายแขนของการทดสอบครั้งที่ 4

### แขนกลทำมุนดังรูป 4.9

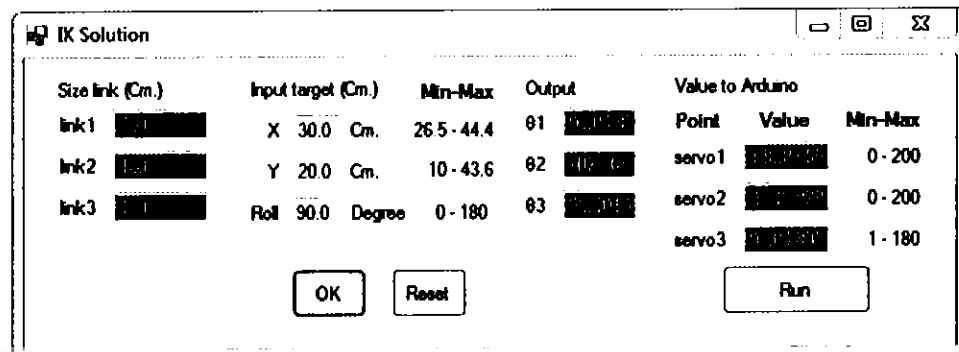


รูปที่ 4.9 แสดงถ้อยจะงของแขนกลของการทดสอบครั้งที่ 4

จากการเปรียบเทียบคำແນ່ງພົກຂອງປາຍແນນອູ້ ระหว่างກາຮັກທີ່ວາດຈາກອຸກາຫີ່ໄດ້ກັບ  
ກາຮັກເຄື່ອນທີ່ຈິງຂອງແນນກລັນນີ້ມີຄວາມໃກດເຄີຍກັນນາກມີເພີ່ງຄວາມຄລາຄເຄື່ອນ 3 - 4

ເຊັນຕີເມຕຣ

การทดสอบครั้งที่ 5 ดังรูปที่ 4.10



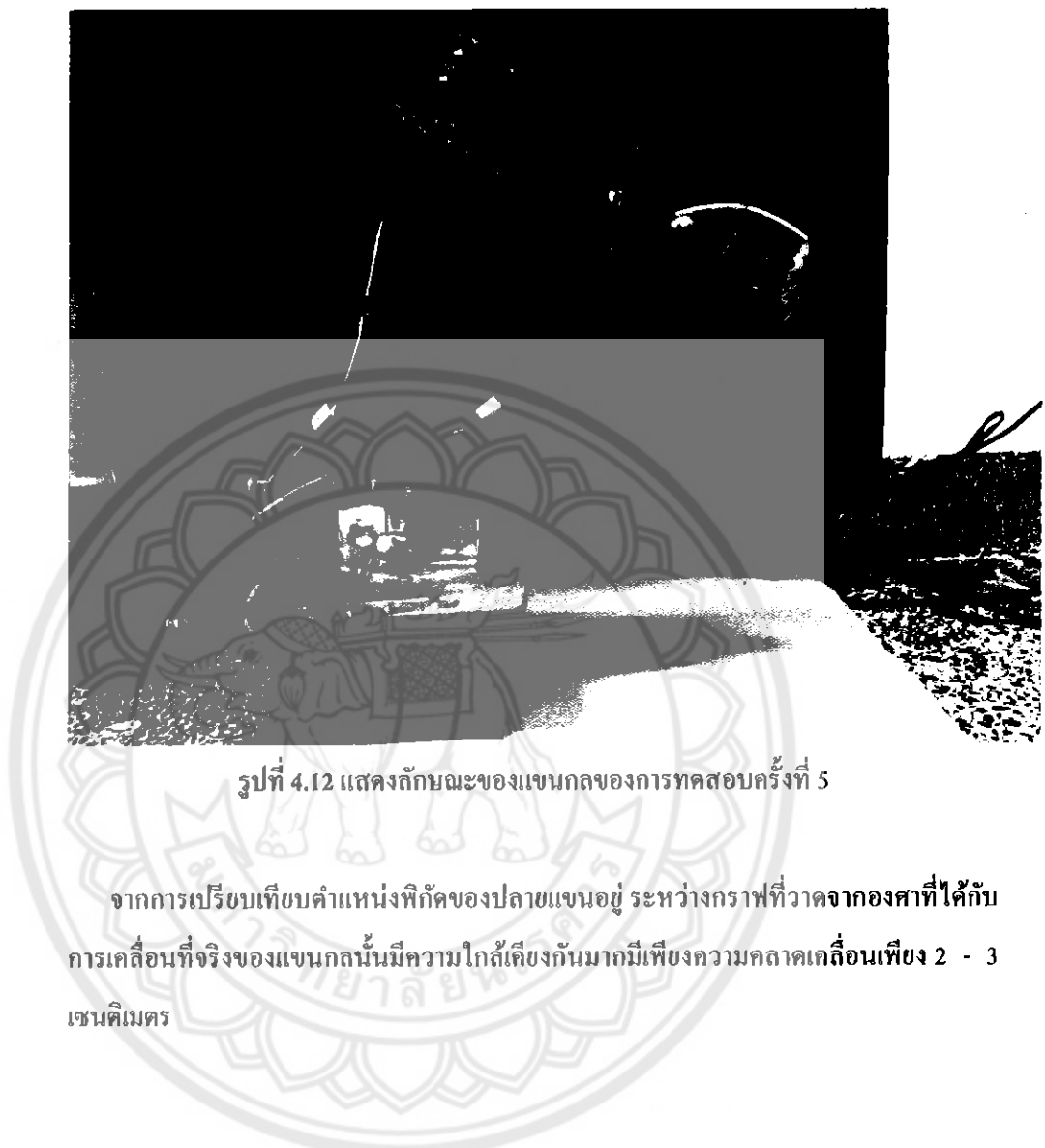
รูปที่ 4.10 การทดสอบโปรแกรมครั้งที่ 5

จะได้กราฟดังรูปที่ 4.11



รูปที่ 4.11 แสดงกราฟการทำนุ่มของแขนและปลายแขนของการทดสอบครั้งที่ 5

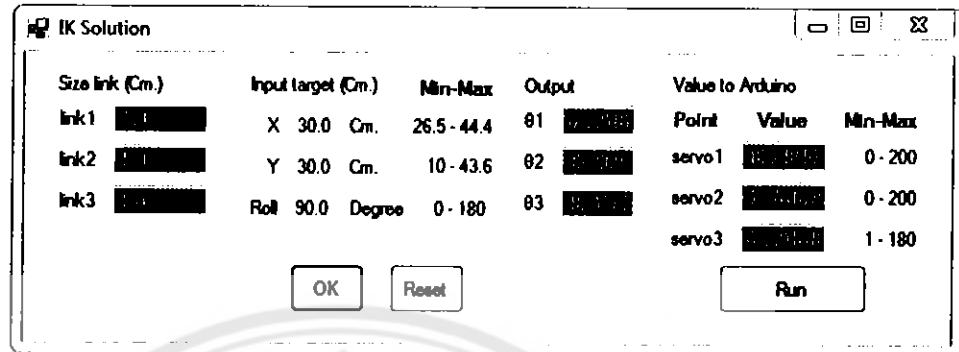
### แขนกลทำนุมดังรูป 4.12



รูปที่ 4.12 แสดงถักยพะของแขนกลของการทดสอบครั้งที่ 5

จากการเปรียบเทียบคำแนะนำพิจัดของปลายแขน袖 ระหว่างกราฟที่วัวจากองศาที่ได้กับการเคลื่อนที่จริงของแขนกลนั้น มีความใกล้เคียงกันมาก มีเพียงความคลาดเคลื่อนเพียง 2 - 3 เซนติเมตร

การทดสอบกรรงที่ 6 ดังรูปที่ 4.13



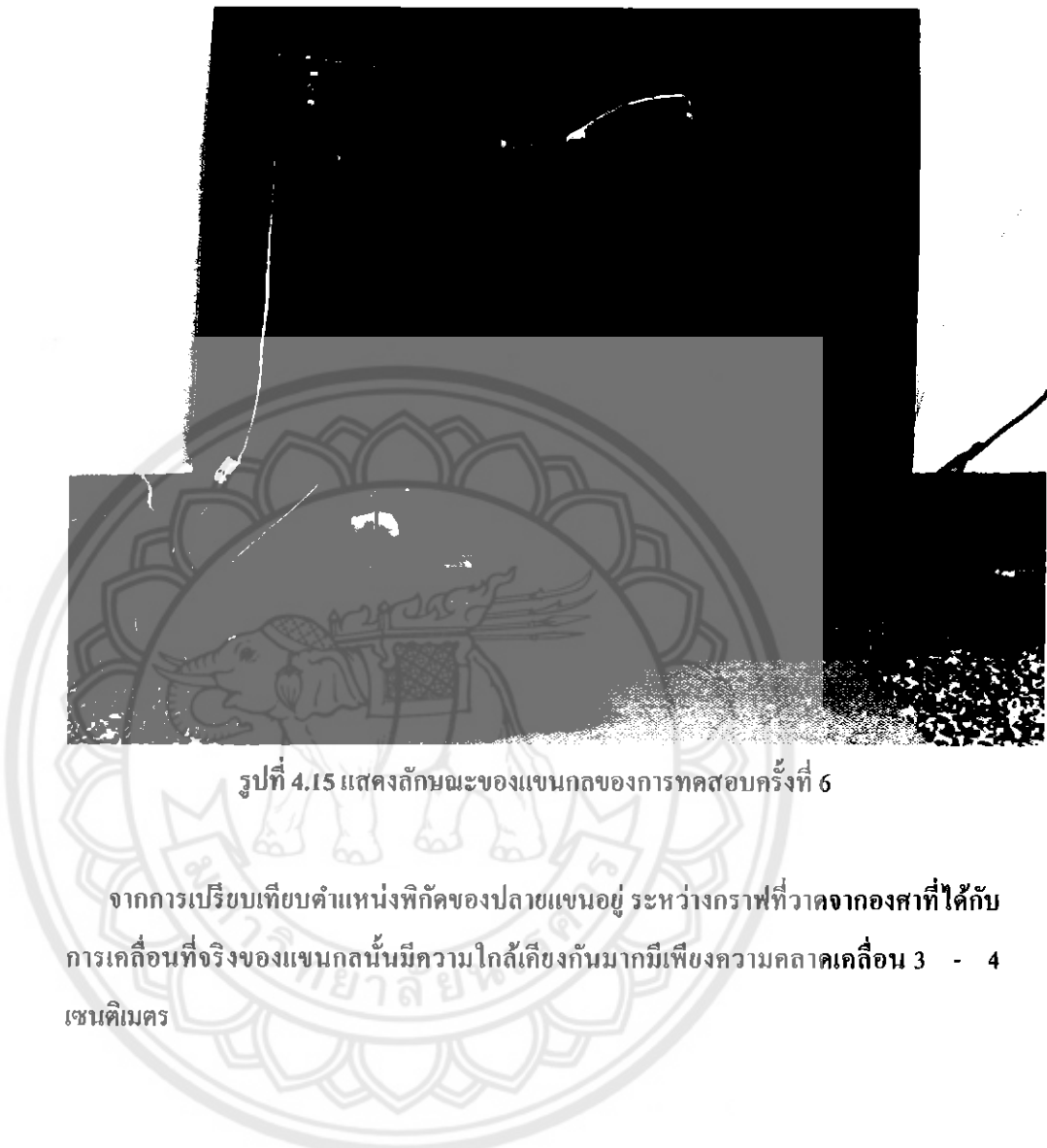
รูปที่ 4.13 การทดสอบโปรแกรมกรรงที่ 6

จะได้ภาพดังรูปที่ 4.14



รูปที่ 4.14 แสดงภาพการทำมุมของแขนและปลายแขนของการทดสอบกรรงที่ 6

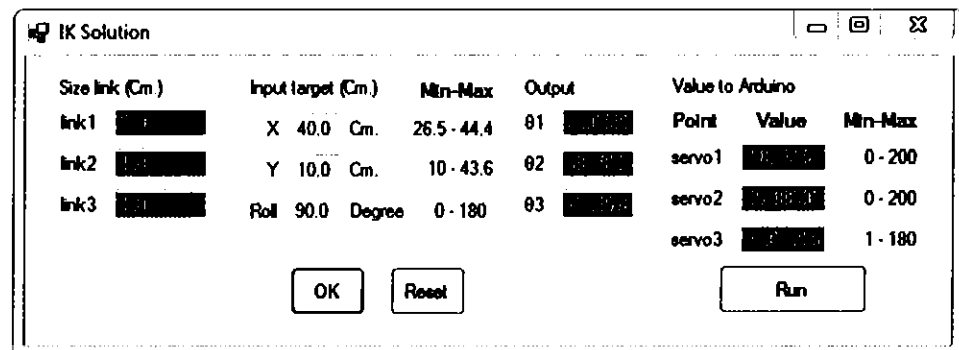
### แผนกกลที่มุนดังรูป 4.15



รูปที่ 4.15 แสดงลักษณะของแผนกของ การทดสอบครั้งที่ 6

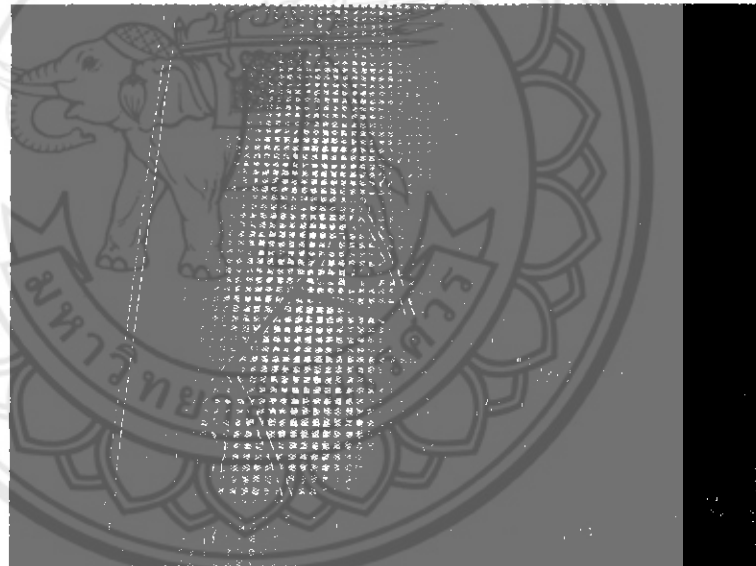
จากการเบริ่บเทียบคำแห่งพิกัดของปลายแขนอยู่ระหว่างกราฟที่วัดจากองศาที่ได้กับการเคลื่อนที่จริงของแผนกนั้นมีความใกล้เคียงกันมากนีเพียงความคลาดเคลื่อน 3 - 4 เซนติเมตร

การทดสอบครั้งที่ 7 ค้างรูปที่ 4.16



รูปที่ 4.16 การทดสอบโปรแกรมครั้งที่ 7

จะได้กราฟค้างรูปที่ 4.17



รูปที่ 4.17 แสดงกราฟการทํามุมของแขนและปลายแขนของการทดสอบครั้งที่ 7

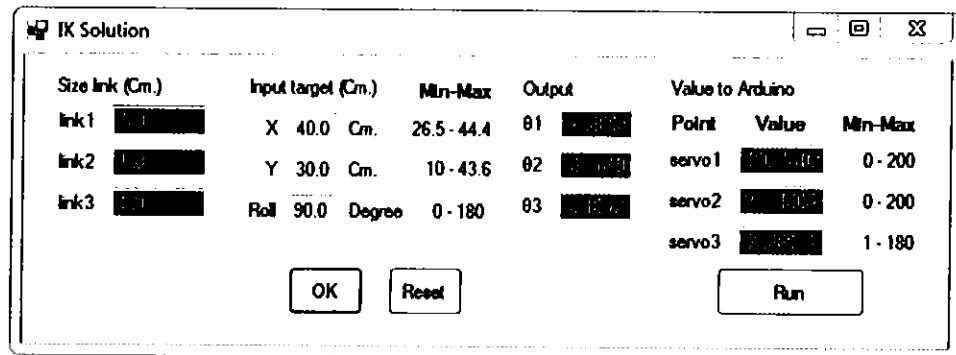
### แผนกลทำนุมดังรูป 4.18



รูปที่ 4.18 แสดงลักษณะของแผนกลของการทดสอบครั้งที่ 7

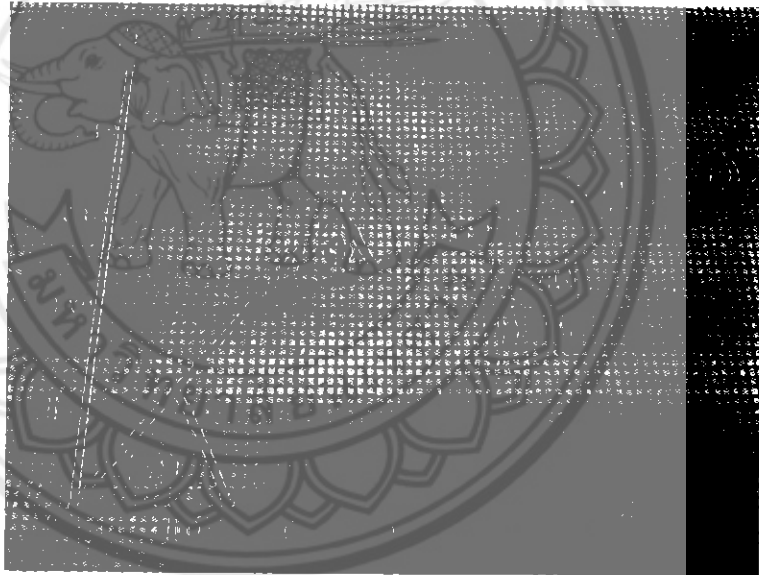
จากการเปรียบเทียบคำแนะนำพิจารณาของปลายแขนอยู่ระหว่างกราฟที่วัดจากองศาที่ได้กับการเคลื่อนที่จริงของแผนกลนั้น มีความใกล้เคียงกันมาก มีเพียงความคลาดเคลื่อนเล็กน้อยเพียง 1 - 3 เซนติเมตรเท่านั้น

การทดสอบครั้งที่ 8 ดังรูปที่ 4.19



รูปที่ 4.19 การทดสอบโปรแกรมครั้งที่ 8

จะได้กราฟดังรูปที่ 4.20



รูปที่ 4.20 แสดงกราฟการคำนวณของแขนและบัดกรีของ การทดสอบครั้งที่ 8

แขนกอคำนวณดังรูป 4.21



การทดสอบครั้งที่ 9 ดังรูปที่ 4.22

| IK Solution     |                    |             |          |                      |
|-----------------|--------------------|-------------|----------|----------------------|
| Size link (Cm.) | Input target (Cm.) | Min-Max     | Output   | Value to Arduino     |
| Link1           | X 40.0 Cm.         | 26.5 - 44.4 | 01 0-100 | Point Value Min-Max  |
| Link2           | Y 40.0 Cm.         | 10 - 43.6   | 02 0-100 | servo1 0-100 0 - 200 |
| Link3           | Roll 90.0 Degree   | 0 - 180     | 03 0-100 | servo2 0-100 0 - 200 |
|                 |                    |             |          | servo3 0-100 1 - 180 |
|                 |                    | OK          | Reset    | Run                  |

รูปที่ 4.22 การทดสอบโปรแกรมครั้งที่ 9

จากการทดสอบจะเห็นได้ว่า โปรแกรมไม่สามารถคำนวณได้เนื่องจากเกินขอบเขตของการเคลื่อนที่



การทดสอบครั้งที่ 10 ดังรูปที่ 4.23

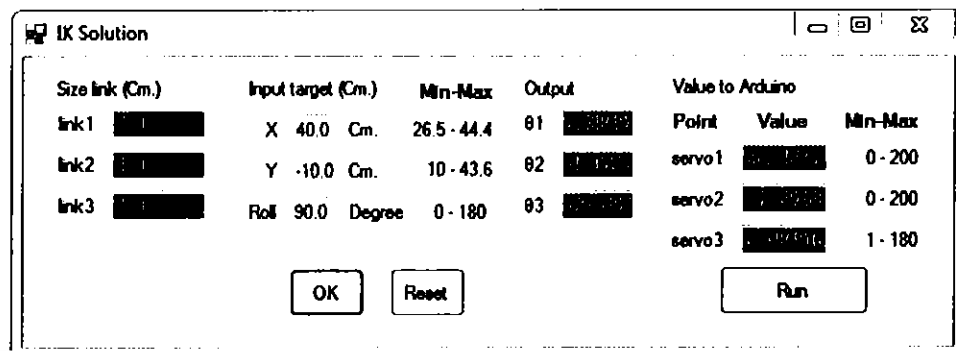
| IK Solution     |                    |             |                                   |                                      |                                    |         |
|-----------------|--------------------|-------------|-----------------------------------|--------------------------------------|------------------------------------|---------|
| Size link (Cm.) | Input target (Cm.) | Min-Max     | Output                            | Value to Arduino                     |                                    |         |
| Link1           | X - 40.0 Cm.       | 26.5 - 44.4 | 81                                | servo1                               | Value                              | 0 - 200 |
| Link2           | Y 10.0 Cm.         | 10 - 43.6   | 82                                | servo2                               | Value                              | 0 - 200 |
| Link3           | Roll 90.0 Degree   | 0 - 180     | 83                                | servo3                               | Value                              | 1 - 180 |
|                 |                    |             | <input type="button" value="OK"/> | <input type="button" value="Reset"/> | <input type="button" value="Run"/> |         |

รูปที่ 4.23 การทดสอบโปรแกรมครั้งที่ 10

จากการทดสอบจะเห็นได้ว่าโปรแกรมไม่สามารถคำนวณได้เนื่องจากเกินขอบเขตของการ  
เคลื่อนที่

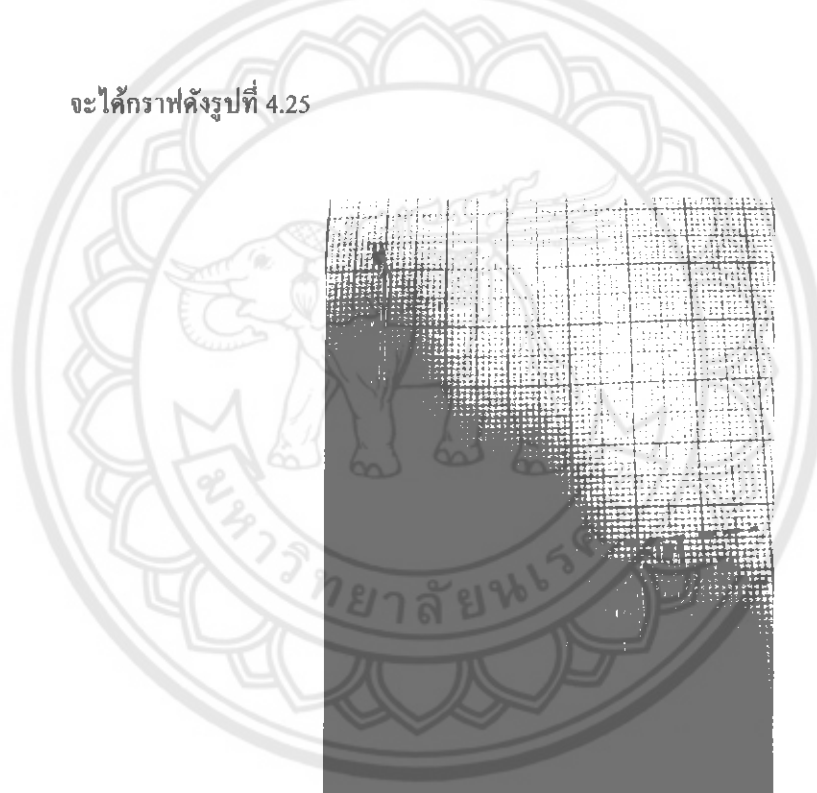


การทดสอบครั้งที่ 11 ดังรูปที่ 4.24



รูปที่ 4.24 การทดสอบโปรแกรมครั้งที่ 11

จะได้กราฟดังรูปที่ 4.25

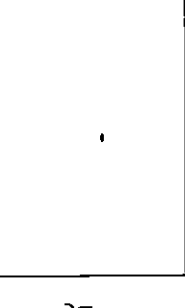
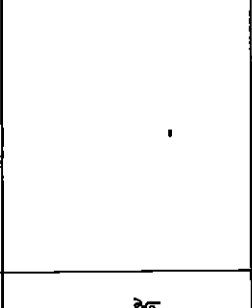
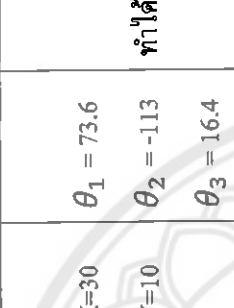
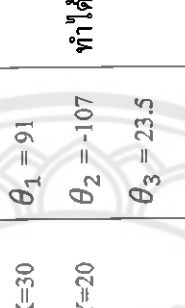
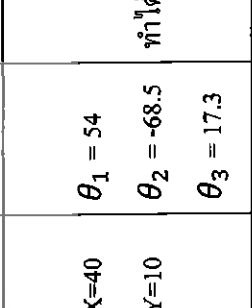
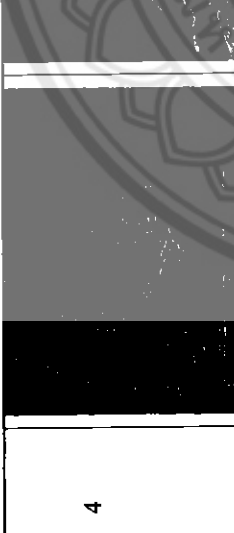
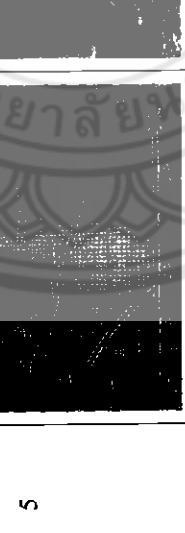


รูปที่ 4.25 แสดงกราฟการท่ามุนของแขนและปลายแขนของการทดสอบครั้งที่ 11

จากการทดสอบนี้จะเห็นว่ากราฟที่ได้คัดกรองไว้ในแกนลับของแกน Y และมีความคลาดเคลื่อนประมาณ 2 เซนติเมตรจากตำแหน่งพิกัดที่ต้องการ การทดสอบนี้ไม่สามารถเบร์ยนเทียบกราฟกับการเคลื่อนที่จริงของแขนกลได้ เนื่องจากอาจทำให้แขนกลเกิดกระแทกกับพื้นผิวและเกิดการชำรุดเสียหายได้

#### 4.4 ตารางประเมินคุณภาพผลการทดสอบ

| ลำดับ         | รูปภาพ   | รูปแบบทดสอบ  | Input<br>ค่าพิเศษ   | ต้นฉบับที่<br>คำนวณได้ | หลัก/<br>ไม่ได้   | หมายเหตุ |
|---------------|--|--------------|---|------------------------|---|----------|
| 1<br>การทดสอบ | -  | X=10<br>Y=10 | $\theta_1 = 49.7$<br>$\theta_2 = -158$<br>$\theta_3 = 43.3$ | ไม่ได้                 | เมื่อจงหาค่าพิเศษ X มีค่า<br>ต่ำกว่าของแบบทดสอบ<br>ทำงานของสารดูแลรักษา   |          |
| 2             |  | X=20<br>Y=10 | $\theta_1 = 86$<br>$\theta_2 = -152$<br>$\theta_3 = 59.7$   | ไม่ได้                 | เมื่อจงหาค่าพิเศษ X, Y มีค่า<br>ต่ำกว่าของแบบทดสอบ<br>การทำงาน ทำให้สัตว์<br>ส่งไปรักษา อรรถมิตร<br>ผิดเพี้ยนจากของจริง |          |
| 3             |  | X=10<br>Y=20 | $\theta_1 = -$<br>$\theta_2 = -$<br>$\theta_3 = -$          | ไม่ได้                 | เมื่อจงหาค่าพิเศษ X มีค่า<br>ต่ำกว่าของแบบทดสอบ<br>ทำงาน  |          |

|   |   |   |  |   |
|---|---|---|--|---|
|    | X=30<br>Y=10<br><br>$\theta_1 = 73.6$<br>$\theta_2 = -113$<br>$\theta_3 = 16.4$     |    | X=30<br>Y=20<br><br>$\theta_1 = 91$<br>$\theta_2 = -107$<br>$\theta_3 = 23.5$        |    |
|    | X=30<br>Y=30<br><br>$\theta_1 = 67.5$<br>$\theta_2 = -85.9$<br>$\theta_3 = 48.3$    |    | X=30<br>Y=30<br><br>$\theta_1 = 67.5$<br>$\theta_2 = -85.9$<br>$\theta_3 = 48.3$     |    |
|   | X=40<br>Y=10<br><br>$\theta_1 = 54$<br>$\theta_2 = -68.5$<br>$\theta_3 = 17.3$      |   | X=40<br>Y=10<br><br>$\theta_1 = 54$<br>$\theta_2 = -68.5$<br>$\theta_3 = 17.3$       |   |
|  |  |  |  |  |

|    |                 |  |        |   |
|----|-----------------|--|--------|---|
|    |                 |  |        |   |
| 8  | X=40<br>Y=30    | $\theta_1 = 52.6$<br>$\theta_2 = -33.7$<br>$\theta_3 = -5.1$ | ทำได้  | เนื่องจากค่าพิเศษ X, Y นี้<br>ต่ำสูงกว่าขอบเขตของ<br>การทำงาน |
| 9  | X=40<br>Y=40    | $\theta_1 = -$<br>$\theta_2 = -$<br>$\theta_3 = -$           | ไม่ได้ | เนื่องจากค่าพิเศษ X, Y นี้<br>ต่ำกว่าขอบเขตของ<br>การทำงาน    |
| 10 | X=(-40)<br>Y=10 | $\theta_1 = -$<br>$\theta_2 = -$<br>$\theta_3 = -$           | ไม่ได้ | เนื่องจากค่าพิเศษ X มีค่า<br>ต่ำกว่าขอบเขตของ การ<br>ทำงาน    |

|    |  |                     |  |
|----|--|---------------------|--|
|    |  |                     | เมื่อย่างทำการคำนวณแล้ว                                    |
|    |  |                     | อาจทำให้หุ่นยนต์เบน<br>คลื่นความเสียงหายไป                 |
|    |  |                     | จึงไม่สามารถสั่งให้<br>หุ่นยนต์เบนกลับหัว                  |
| 11 |  | $X=40$<br>$Y=(-10)$ | $\theta_1 = 6.5$<br>$\theta_2 = -15$<br>$\theta_3 = -79.5$ |
|    |  |                     |  |

ตารางที่ 4.1 ตารางเบรเซปท์ขั้นตอนการหาค่าต่อ

หากที่ได้ทำการทดสอบระบบที่ได้พัฒนาขึ้นมาโดยชุดจอกางบึงเพียงครั้งเดียวเราทราบว่าจุดศูนย์กลางของหุ่นยนต์ที่เราต้องคำนวนนั้นจะต้องคำนวณแบบที่โปรแกรมของเราได้คำนวณไว้กับการเคลื่อนไหวของแขนกล แขนกลด้านขวาเคลื่อนที่ไปบัง朴กัดคำนวณที่ต้องการ โดยที่บัง朴กัดคำนวณถูกติดต่ออยู่ที่จุดศูนย์กลางของหุ่นยนต์ 0 – 4 เซนติเมตร และเวลาพักที่หุ่นยนต์ไม่สามารถเคลื่อนที่ไปได้แต่ละไปรบกวน ไม่สามารถคำนวณได้ด้วยชั้นกัน

หากการทดสอบในบทนี้ได้ทำการบันทึกเก็บข้อมูลต่างๆ ทำให้พบปัญหาต่างๆ ที่เกิดขึ้น ในบทต่อไปจะถ้าเราใช้ปัญญาที่พัฒนาจากการทดลอง การแก้ไขข้อหาเหล่านี้ทางในการพัฒนาต่อ

## บทที่ 5

### สรุปผลและข้อเสนอแนะ

ในบทนี้จะกล่าวถึงการสรุปผลการทดลองและปัญหาที่พบจากการทดสอบของโครงการ การควบคุมแขนกลด้วยหลักการอินเวอร์สกีเนมเมติกส์ (Inverse Kinematics) และแนวทางในการแก้ปัญหาดังกล่าวที่ได้จากการทดลองที่ 4 รวมถึงแนวทางในการพัฒนาต่อ

#### 5.1 สรุปผลการทดลอง

จากการจัดทำโครงการการควบคุมแขนกลด้วยหลักการอินเวอร์สกีเนมเมติกส์ ผลที่ได้คือได้มีการพัฒนาหุ่นยนต์แขนกลและระบบอิรุณ์ในโครงสร้างโทรศัพท์มือถือและการพัฒนาโปรแกรมที่ใช้รับคำสั่งที่ต้องการและสั่งการไปยังบอร์ดในโทรศัพท์มือถือเพื่อสั่งให้แขนกลเคลื่อนที่ไปยังพิกัดที่ต้องการ

จากการทดสอบการควบคุมแขนกลด้วยหลักการอินเวอร์สกีเนมเมติกส์ ตัวโปรแกรมสามารถรับคำสั่งได้และสามารถแสดงค่าของบุนเดล์ล์ที่คำนวณได้ แขนกลทุกข้อรับคำสั่งและสามารถเคลื่อนที่ได้ถูกต้อง ทำให้แขนกลเคลื่อนที่ไปยังจุดหมายได้อย่างถูกต้องจากการระบุค่าตำแหน่งพิกัด X, Y, Roll แต่ยังพบว่ามีความคลาดเคลื่อนอยู่ และบางตำแหน่งพิกัดปลายแขนไม่สามารถไปได้

#### 5.2 ปัญหาที่พบ

##### 5.2.1 ปัญหาการเคลื่อนที่

- เมื่อแขนกลเคลื่อนที่ไปยังจุดพิกัดที่ต้องการ แขนกลท่อนที่ 2 และ 3 มีการเกิดโอเวอร์ชูต (Overshoot) ซึ่งอาจทำให้ตัวของแขนกลเชอร์ไวน์เดอร์ชาร์จเดินทางไปได้แต่เมื่อใช้งานกับของที่เป็นรูปทรงอาจทำให้สิ่งของแตกหักได้
- จากการทดสอบการควบคุมแขนกลด้วยหลักการอินเวอร์สกีเนมเมติกส์ แขนกลไม่สามารถเคลื่อนที่ไปยังพิกัดแทนที่กำหนดได้

3. มีความคลาดเคลื่อนตั้งแต่ 0 ถึง 4 เซนติเมตร โดยเฉพาะอย่างยิ่งเมื่อแกน Y ต่ำกว่า 10 เซนติเมตร

### 5.2.2 ปัญหาอาร์ดแวร์

1. จีดจำกัดของอาร์ดแวร์ทำให้แขนกลเคลื่อนที่ไปยังพิกัดบางตำแหน่งไม่ได้ และบางจุดสามารถไปได้แต่อาจทำให้แขนกลและเซอร์ไวน์อเมธอร์เกิดการชำรุดเสียหายได้

2. เชอร์ไวน์อเมธอร์ไม่สามารถใช้งานในระยะเวลานานได้ ซึ่งการใช้งานนานจะให้เชอร์ไวน์อเมธอร์ร้อนแล้วเกิดการชำรุดเสียหายได้

## 5.3 แนวทางการแก้ปัญหา

### 5.3.1 การแก้ปัญหาการเคลื่อนที่

1. เปิดบินเซอร์ไวน์อเมธอร์เป็นเซอร์ไวน์อเมธอร์ที่มีประสิทธิภาพที่สูงกว่าตัวเดิม
2. เลือกใช้งานกับวัสดุที่ไม่ประ年之久หรือไม่แตกง่าย
3. กำหนด Working Area ของการเคลื่อนที่
4. ในการส่งค่าจากตัวโปรแกรม C# ไปยังอร์คในโกรคอนโทรลเลอร์ให้ส่งเลขทศนิยมไปตัวบ

### 5.3.2 การแก้ปัญหาอาร์ดแวร์

1. เปิดบินเซอร์ไวน์อเมธอร์เป็นเซอร์ไวน์อเมธอร์ที่มีประสิทธิภาพที่สูงกว่าตัวเดิม
2. กำหนดขอบเขตการทำงาน (Working Area) ของการเคลื่อนที่
3. จำกัดเวลาหรือคงใช้งานเป็นเวลานาน
4. ทดสอบตรวจสอบว่าเซอร์ไวน์อเมธอร์ร้อนหรือไม่ย่างบ่อบรังโมกของการใช้งาน

#### 5.4 แนวทางการพัฒนาต่อ

5.4.1 ใช้การประเมินผลภาพเพื่อหาจุดพิกัดที่วัดถูกยูเทนการป้อนค่าพิกัด

5.4.2 เพิ่มความละเอียดในการส่งค่าผ่านพอร์ทอนุกรม (Serial port) โดยการส่งค่าทศนิยมด้วยเพื่อส่งการเซอร์โวมอเตอร์เคลื่อนที่ได้แม่นขึ้น

5.4.3 ใช้ชาร์คแวร์ที่มีความคงทนมีน้ำหนักเบาและมีประสิทธิภาพสูงกว่าเดิม

5.4.4 สามารถนำไปประยุกต์ใช้กับหุ่นยนต์ @HOME ROBOT หรือหุ่นยนต์เพื่อนอัจฉริยะเพื่อใช้งานแห่งน้ำได้

5.4.5 สามารถนำหลักการไปประยุกต์ใช้ในการพัฒนาระบบความคุณของแบบกลที่ใช้จริงในโรงงานอุสาหกรรมต่างๆ ได้



## เอกสารอ้างอิง

- [1] "Robot arm" เข้าถึงได้จาก <http://akikorhonen.org/projects/robot-hand>
  - [2] นาย กัทรพล ศิริปรีญาบุญพงษ์. (2553). ระบบควบคุมหุ่นยนต์แขนกลอัตโนมัติโดยการประมวลผลภาพ วิทยานิพนธ์ปริญญาบัณฑิต ภาควิชาวิศวกรรมไฟฟ้าและคอมพิวเตอร์ มหาวิทยาลัยนเรศวร
  - [3] [www.rsu.ac.th/science/physics/sema/phy\\_121/...13.../lesson\\_10.doc](http://www.rsu.ac.th/science/physics/sema/phy_121/...13.../lesson_10.doc)
  - [4] "Roll, Yaw, Pitch" เข้าถึงได้จาก [https://developer.valvesoftware.com/w/index.php?title=File:Roll\\_pitch\\_yaw.gif&limit=50](https://developer.valvesoftware.com/w/index.php?title=File:Roll_pitch_yaw.gif&limit=50)
  - [5] "Rotation" เข้าถึงได้จาก <https://alliance.seas.upenn.edu/~medesign/wiki/index.php/Courses/>
  - [6] หนังสือ Introduction to Robotics โดย อรรถวิทช์ สุคแสวง
  - [7] "Degree of Robot arm" เข้าถึงได้จาก <http://controlsystems lab.com/introducing-rtsx-robotic-tools-for-scilabxcos/?lang=th>
- MEAM520-12A-A03
- [8] "DC Motor" เข้าถึงได้จาก [http://www.stepper-dc-motor.com/china-63zyt01a\\_12v\\_24v\\_36V\\_40v\\_3100\\_3500\\_rpm\\_carbon\\_brushed\\_dc\\_electric\\_motor-531602.html](http://www.stepper-dc-motor.com/china-63zyt01a_12v_24v_36V_40v_3100_3500_rpm_carbon_brushed_dc_electric_motor-531602.html)
  - [9] "Servo" เข้าถึงได้จาก [http://www.robotiksistem.com/servo\\_motor\\_types\\_properties.html](http://www.robotiksistem.com/servo_motor_types_properties.html)
  - [10] "Arduino ATmega1280" เข้าถึงได้จาก [http://www.thaieeasyelec.com/Development-Tools/Arduino/Dev-Board-Unofficial/ATMEGA1280-Base-Board--Compatible-with-Arduino-Project-.html](http://www.thaieasyelec.com/Development-Tools/Arduino/Dev-Board-Unofficial/ATMEGA1280-Base-Board--Compatible-with-Arduino-Project-.html)
  - [11] "SR431" เข้าถึงได้จาก <http://www.etteam.com/prod2011/robot/SR431.html>
  - [12] "S3003" เข้าถึงได้จาก <http://www.singahobby.com/?q=node/11884>

[13] "Motor worm gear" เข้าถึงได้จาก <http://www.aliexpress.com/wholesale/wholesale-worm-gear-speed-reducers.html>

[14] "Atan2" เข้าถึงได้จาก <http://en.wikipedia.org/wiki/Atan2>



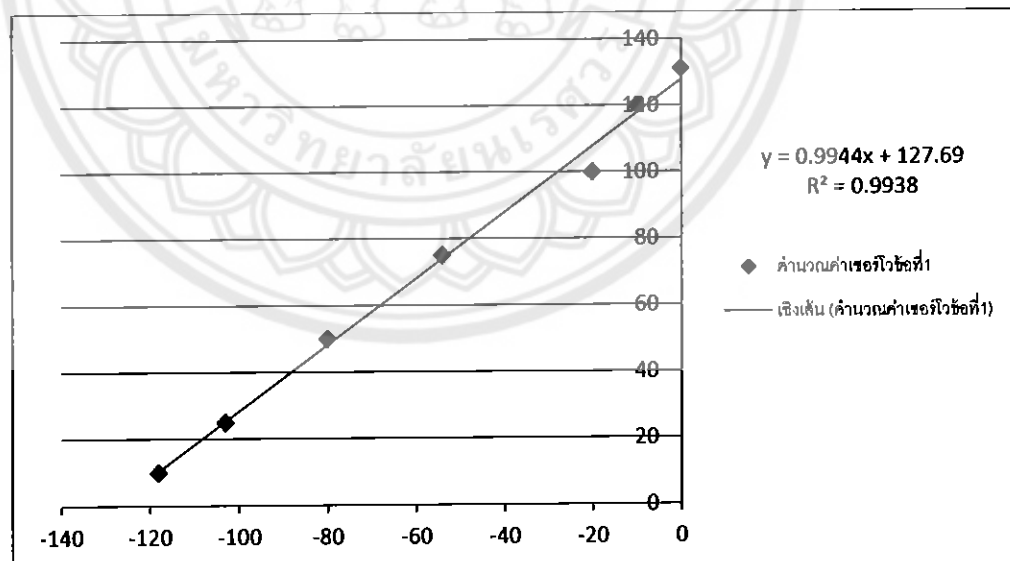
## ภาคผนวก ก

การสร้างสูตรสมการสัมประสิทธิ์โวโนเดอร์ (Servo Motor) และมอเตอร์กระแสตรง (DC Motor)

| ข้อที่ 1 |       |
|----------|-------|
| องศาเริง | Value |
| 21       | 160   |
| 0        | 140   |
| -35      | 100   |
| -50      | 80    |
| -83      | 40    |
| -128     | 20    |

ตารางที่ ก-1 ตารางเปรียบเทียบ value กับองศาเริงของเซอร์โวโนเดอร์ข้อที่ 1

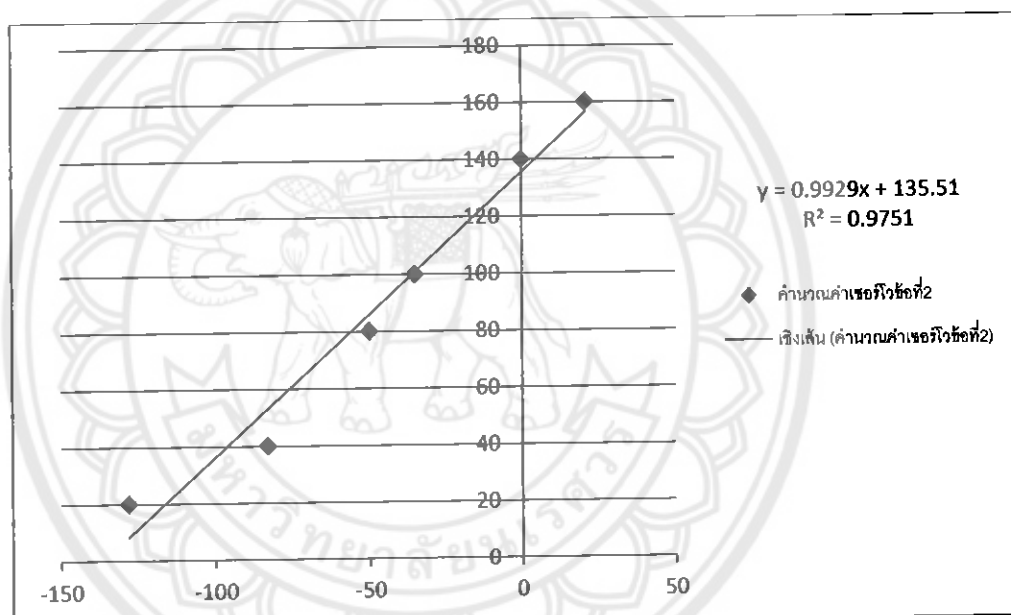
จะเห็นได้ว่าค่า value ที่ส่งไปกับค่าขององศาเริงไม่ตรงกัน จึงค้องแก้ปัญหาโดยการ linear ค่าที่ได้จากการ



รูปที่ ก-1 กราฟแสดงการ linear ค่าจากตารางเปรียบเทียบใน ตารางที่ ก-1

| ข้อที่ 2 |       |
|----------|-------|
| องศาจริง | Value |
| 0        | 131   |
| -10      | 120   |
| -20      | 100   |
| -54      | 75    |
| -80      | 50    |
| -103     | 25    |
| -118     | 10    |

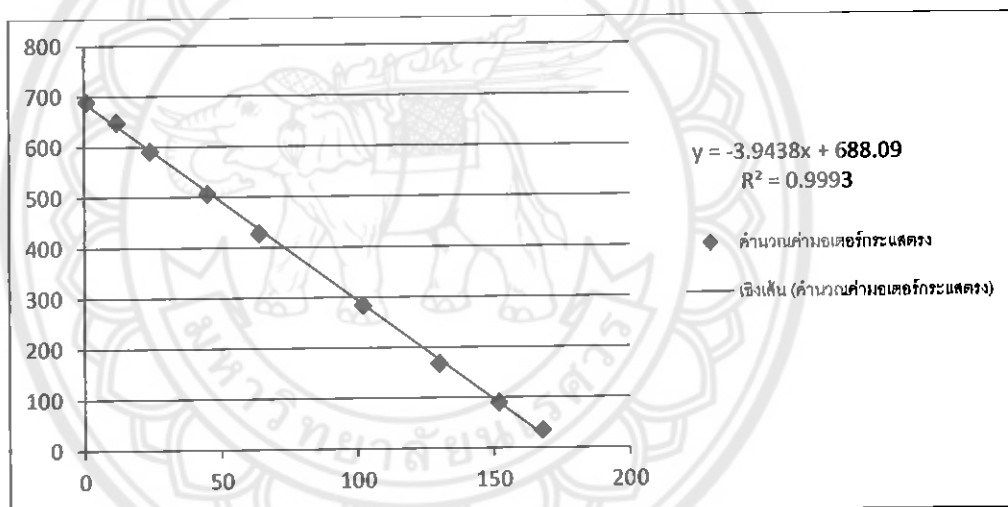
ตารางที่ ก-2 ตารางเปรียบเทียบ value กับองศาจริงของเซอร์ไวน์อเมธอร์ข้อที่ 2



รูปที่ ก-2 กราฟแสดงการ linear คำจากตารางเปรียบเทียบใน ตารางที่ ก-2

| DC Motor |       |
|----------|-------|
| องศาเร็ว | Value |
| !        | 689   |
| 12       | 649   |
| 24       | 591   |
| 45       | 506   |
| 64       | 428   |
| 102      | 284   |
| 130      | 168   |
| 152      | 90    |
| 168      | 35    |

ตารางที่ ก-3 ตารางเบรี่ยนเทียบค่าแรงดันของก้นองค้าชิงของมอเตอร์กระแสตรง



รูปที่ ก-3 กราฟแสดงการ Linear ค่าจากตารางเบรี่ยนเทียบใน ตารางที่ ก-3

## ກາຄພນວກ ພ

### Algorithm Code ຂອງໂປຣແກຣມ

```

using System;
using System.Collections.Generic;
using System.ComponentModel;
using System.Data;
using System.Drawing;
using System.Linq;
using System.Text;
using System.Windows.Forms;
using System.IO.Ports;

namespace IK
{
    public partial class Form1 : Form
    {
        double zd1 = 0;
        double nzd2 = 0;
        double nzd3 = 0;
        double st1 = 0;
        double st2 = 0;
        double st3 = 0;
        double st4 = 0;
        public Form1()
        {

            InitializeComponent();
        }

        //string x, y;
        private void Set(string strx, string stry, string strz)
        {
            //input target (Cm.)
            double x, y, z;
            x = Convert.ToDouble(strx);
            y = Convert.ToDouble(stry);
            z = Convert.ToDouble(strz);

            //link
            double l1 = 25.0;
            double l2 = 15.0;
            double l3 = 13.0;

            double py = y - 10.5;
            //Solution Inverse Kinematics
            double phi = Math.PI / 3.0;
            double Wx = x - (l3 * Math.Cos(phi));
            double Wy = py - (l3 * Math.Sin(phi));
            //Solution for theta2
            double c2 = (Math.Pow(Wx, 2.0) + Math.Pow(Wy, 2.0) -
            Math.Pow(l1, 2.0) - Math.Pow(l2, 2.0)) / (2.0 * l1 * l2);
            double s2 = Math.Sqrt(1 - Math.Pow(c2, 2));
            double z2 = Math.Atan2(s2, c2);
        }
    }
}

```

```

//Solution for theta1
double s1 = (((l1 + l2 * Math.Cos(z2)) * Wy) - (l2 * s2 * Wx))
/ (Math.Pow(Wx, 2.0) + Math.Pow(Wy, 2.0));
double c1 = (((l1 + l2 * Math.Cos(z2)) * Wx) - (l2 * s2 * Wy))
/ (Math.Pow(Wx, 2.0) + Math.Pow(Wy, 2.0));
double z1 = Math.Atan2(s1, c1);
//Solution for theta3
double z3 = phi - z1 - z2;

//Solution for radian to degree
double r2d = 180.0 / Math.PI;
zd1 = (z1 * r2d);
double zd2 = (z2 * r2d);
double zd3 = (z3 * r2d);

//Convert theta
double fre = Math.Atan(py / x);
double free = fre * (r2d);
double nzd1 = (zd1 * (-1)) + (free * 2);
nzd2 = zd2 * (-1);
nzd3 = zd3 * (-1);

//Output theta to textbox
seta1.Text = nzd1.ToString();
seta2.Text = nzd2.ToString();
seta3.Text = nzd3.ToString();

//magnet link
double x1 = l1 * (Math.Cos(nzd1));
double y1 = l1 * (Math.Sin(nzd1));

st1 = (0.9929*(nzd3) + 135.51);
st2 = (0.9944 * (nzd2) + 127.69);
st3 = nzd1;
st4 = z;

//Value Servo to textbox
servo1.Text = st1.ToString();
servo2.Text = st2.ToString();
servo3.Text = st3.ToString();
}

//Solution Send to Arduino
private void button3_Click(object sender, EventArgs e)
{
    int izd1 = Convert.ToInt32(st1);
    int izd2 = Convert.ToInt32(st2);
    int izd3 = Convert.ToInt32(st3);
    int izdz = Convert.ToInt32(st4);

    byte[] o = { 0x01, (byte)izd1, (byte)izd2, (byte)izd3,
    (byte)izdz};
    if (!serialPort1.IsOpen) serialPort1.Open();
    serialPort1.Write(o, 0, 5);
}

//Show Output
private void button1_Click(object sender, EventArgs e)
{
    Set(xbox.Text.ToString(),
    ybox.Text.ToString(),zbox.Text.ToString());
}

```

```
//Reset  
private void button2_Click(object sender, EventArgs e)  
{  
    xbox.Text = "";  
    ybox.Text = "";  
    zbox.Text = "";  
}  
  
//Open port  
private void Form1_Load(object sender, EventArgs e)  
{  
    serialPort1.Open();  
}  
//Close port  
private void Form1_FormClosed(object sender, FormClosedEventArgs e)  
{  
    serialPort1.Close();  
}  
}  
}
```

